**Zeitschrift:** Commentarii Mathematici Helvetici

Herausgeber: Schweizerische Mathematische Gesellschaft

**Band:** 53 (1978)

**Artikel:** Sur la structure du groupe des difféomorphismes qui préservent une

forme symplectique.

Autor: Banyaga, Augustin

**DOI:** https://doi.org/10.5169/seals-40763

#### Nutzungsbedingungen

Die ETH-Bibliothek ist die Anbieterin der digitalisierten Zeitschriften auf E-Periodica. Sie besitzt keine Urheberrechte an den Zeitschriften und ist nicht verantwortlich für deren Inhalte. Die Rechte liegen in der Regel bei den Herausgebern beziehungsweise den externen Rechteinhabern. Das Veröffentlichen von Bildern in Print- und Online-Publikationen sowie auf Social Media-Kanälen oder Webseiten ist nur mit vorheriger Genehmigung der Rechteinhaber erlaubt. Mehr erfahren

#### **Conditions d'utilisation**

L'ETH Library est le fournisseur des revues numérisées. Elle ne détient aucun droit d'auteur sur les revues et n'est pas responsable de leur contenu. En règle générale, les droits sont détenus par les éditeurs ou les détenteurs de droits externes. La reproduction d'images dans des publications imprimées ou en ligne ainsi que sur des canaux de médias sociaux ou des sites web n'est autorisée qu'avec l'accord préalable des détenteurs des droits. En savoir plus

#### Terms of use

The ETH Library is the provider of the digitised journals. It does not own any copyrights to the journals and is not responsible for their content. The rights usually lie with the publishers or the external rights holders. Publishing images in print and online publications, as well as on social media channels or websites, is only permitted with the prior consent of the rights holders. Find out more

**Download PDF:** 08.12.2025

ETH-Bibliothek Zürich, E-Periodica, https://www.e-periodica.ch

# Sur la structure du groupe des difféomorphismes qui préservent une forme symplectique

AUGUSTIN BANYAGA

# Introduction

Soit M une variété différentiable de classe  $C^{\infty}$  paracompacte connexe de dimension n. Si  $\mathrm{Diff}^k(M)_0$  est le groupe des difféomorphismes h de M de classe  $C^k$  tels qu'il existe une  $C^k$ -isotopie H de h à l'identité, fixe en dehors d'un compact, les travaux d'Epstein [7], Herman [8], Mather [11] et Thurston [17], montrent que pour tout  $k=0,1,\ldots,\infty$   $k\neq n+1$ ,  $\mathrm{Diff}^k(M)_0$  est un groupe simple.

Par contre, si M est une variété différentiable de classe  $C^{\infty}$  close et connexe de dimension n et si  $G_M^v$  est la composante connexe de l'identité dans le groupe des difféomorphismes de M de classe  $C^{\infty}$ , qui préservent une forme-volume sur M,  $G_M^v$  n'est pas simple. Thurston [16] a montré que l'abélianisé  $H_1(G_M^v) = G_M^v/[G_M^v, G_M^v]$  de  $G_M^v$  est isomorphe à un quotient de  $H^{n-1}(M, \mathbb{R})$ , mais cependant que  $[G_M^v, G_M^v]$  est un groupe simple.

Nous démontrons ici un résultat analogue pour le groupe des difféomorphismes qui préservent une forme symplectique. Plus précisément, soit  $(M,\Omega)$  une variété différentiable de classe  $C^{\infty}$  close et connexe, munie d'une forme symplectique  $\Omega$  et soit  $G_{\Omega}(M)$  la composante connexe de l'identité dans le groupe des difféomorphismes de classe  $C^{\infty}$  de M qui préservent la forme  $\Omega$ . Nous démontrons que  $H_1(G_{\Omega}(M))$  est isomorphe à un quotient de  $H^1(M, \mathbb{R})$  et que  $[G_{\Omega}(M), G_{\Omega}(M)]$  est un groupe simple. La démonstration de ce résultat occupera le chapitre III de ce travail. L'idée de la démonstration est de raffiner et d'adapter au cas symplectique les techniques employées par Thurston pour démontrer les résultats de [16] et [17].

Nous obtenons aussi quelques résultats dans le cas où la variété symplectique  $(M,\Omega)$  est non compacte. Le résultat fondemantal dans le cas non compact (théorème II.6.2) dit qu'un certain sous-groupe de  $[G_{\Omega}(M), G_{\Omega}(M)]$  est simple. Par exemple il découle immédiatement de ce théorème qus si  $(M,\Omega)$  est une variété symplectique ouverte, connexe dont le  $H_c^1(M,R)=0$ , alors  $[G_{\Omega}(M), G_{\Omega}(M)]$  est simple et  $H_1(G_{\Omega}(M))$  est isomorphe à un quotient de  $\mathbb{R}$ .

Nous démontrons aussi que si  $\Omega$  est exacte et que si la dimension de M est au moins 4, alors  $H_1(G_{\Omega}(M)) \cong H^1_c(M, \mathbb{R}) \oplus \mathbb{R}$  et  $[G_{\Omega}(M), G_{\Omega}(M)]$  est simple. Ceci

est une conséquence du théorème II.6.2 et de quelques constructions données au chapitre II.

Les méthodes de ce papier et le résultat principal (théorème II.6.2) ont permis à G. Rousseau [13] de déterminer la structure du groupe  $G_{\Omega}(M)$  dans le cas où M n'est pas compacte. En particulier, il retrouve par une méthode différente notre résultat ci-dessus concernant les variétés à formes symplectiques exactes.

Le chapitre I est consacré aux préliminaires. Nous y rassemblons quelques notions et résultats classiques qui interviendront dans la suite et nous y démontrons quelques faits qui seront utilisés dans le courant de ce travail.

Au chapitre II, nous construisons les invariants qui jouent un rôle clé dans l'étude du groupe des difféomorphismes symplectiques. Ces invariants se trouvent être des homomorphismes de  $G_{\Omega}(M)$  ou de ses sous-groupes à valeur dans certains groupes abéliens. Les résultats de ce travail, énoncés dans ce chapitre, concernent la structure des noyaux de ces homomorphismes.

Le chapitre III est consacré aux démonstrations des résultats.

Tous les objets considérés ici sont de classe  $C^{\infty}$  et le mot "différentiable" signifiera "de classe  $C^{\infty}$ ." Les espaces d'applications seront toujours munis de la topologie  $C^{\infty}$ .

Les résultats démontrés ici ont été annoncés dans [2], [3].

Ce papier est à quelques modifications près, la thèse que j'ai présentée à la Faculté des Sciences de l'Université de Genève. Les modifications sont les suivantes: le chapitre concernant les difféomorphismes qui préservent une forme de contact a été omis. Les résultats de ce chapitre seront publiés ailleurs. En outre, on a inséré quelques compléments sur les difféomorphismes d'une variété symplectique non compacte.

Je suis très heureux d'exprimer ma profonde reconnaissance au Professeur André Haefliger, qui a dirigé ma thèse, pour le rôle essentiel qu'il a joué dans ma formation de mathématicien, et particulièrement dans l'élaboration de ce travail. Par son aide vraiment efficace, ses encouragements et ses enseignements, il a été pour moi un Maître remarquable; il m'a notamment communiqué et longuement expliqué les détails non publiés des démonstrations des résultats de [17] de Thurston, (voir [4]).

# TABLE DES MATIERES

# INTRODUCTION

- I. QUELQUES RESULTATS ET NOTIONS PRELIMINAIRES
  - 1. Isotopies et familles de champs de vecteurs
  - 2. Formes symplectiques
  - 3. Plongement symplectique des boules

# II. - CONSTRUCTION DES INVARIANTS ET ENNONCE DES RESULTATS

- 1. L'invariant S
- 2. L'invariant S comme obstruction à l'extension des isotopies symplectiques
- 3. Quelques propriétés du groupe Ker S(M)
- 4. L'invariant R
- 5. L'invariant μ
- 6. Ennoncé des résultats

#### III. - DEMONSTRATIONS DES RESULTATS

- 1. L'invariant R et l'obstruction à l'extension des isotopies symplectiques
- 2. Recouvrement associé à une triangulation
- 3. Le lemme de fragmentation
- 4. L'ensemble simplicial  $B\bar{G}$
- 5. Le groupe  $H_1(B\overline{\mathrm{Ker}\,S(M)},\mathbf{Z})$
- 6. Les difféomorphismes symplectiques du tore
- 7. Fin des démonstrations

#### **BIBLIOGRAPHIE**

# **CHAPITRE I**

# **QUELQUES NOTIONS ET RESULTATS PRELIMINAIRES**

# 1. Isotopies et familles de champs de vecteurs

Soit M une variété différentiable de classe  $C^{\infty}$ . Le support d'un difféomorphisme h de M est l'adhérence de l'ensemble  $\{x \in M \mid h(x) \neq x\}$ . Nous désignerons par  $\mathrm{Diff}^{\infty}(M)$  le groupe de tous les difféomorphismes de M de classe  $C^{\infty}$  à support compact. Soit  $\mathrm{Diff}^{\infty}_{K}(M)$  le sous-groupe de  $\mathrm{Diff}^{\infty}(M)$  dont les éléments ont leur support dans un compact fixe K de M, muni de la  $C^{\infty}$ -topologie. Alors  $\mathrm{Diff}^{\infty}(M) = \lim_{\to} \mathrm{Diff}^{\infty}_{K}(M)$ .

Soit I l'intervalle [0, 1]. Une isotopie est une application  $c: I \to \text{Diff}^{\infty}(M)$  telle que  $c(0) = \text{id}_M$  et telle que l'application  $(t, x) \mapsto c(t)(x)$  de  $I \times M$  dans M soit différentiable. Nous dirons qu'une isotopie est un chemin différentiable dans  $\text{Diff}^{\infty}(M)$  d'origine  $\text{id}_M$ . Un difféomorphisme h est dit isotope à  $\text{id}_M$  s'il existe une isotopie  $c: I \to \text{Diff}^{\infty}(M)$  telle que c(1) = h. Comme le groupe  $\text{Diff}^{\infty}(M)$  est localement connexe par arcs différentiables, la composante connexe de  $\text{id}_M$  dans  $\text{Diff}^{\infty}(M)$ , notée  $\text{Diff}^{\infty}(M)_0$ , est l'ensemble de tous les difféomorphismes isotopes à l'identité.

Une isotopie  $h: I \to \text{Diff}^{\infty}(M)$  définit un feuilletage sur  $M \times I$  transverse aux fibres de la projection  $M \times I \to I$ . Soit  $x \in M$ ; la feuille passant par (x, 0) est l'ensemble  $\{h_t(x)\}_{t \in I}$ .

On définit une famille (différentiable) de champs de vecteurs  $\dot{h}_t$  en posant:

$$\dot{h}_t(x) = \frac{dh_t}{dt}(h_t^{-1}(x)), \qquad x \in M$$

La famille de champs de vecteurs  $\dot{h}_t$  est la projection sur M du champ de vecteurs sur  $M \times I$  qui se projette sur le champ constant  $\partial/\partial t$  de I et qui est tangent aux feuilles du feuilletage défini par l'isotopie  $h_t$ .

PROPOSITION I.1.1. Soit  $h_{s,t}$  une famille différentiable à 2-paramètres de difféomorphismes de M telle que  $h_{0.0} = \mathrm{id}_{M}$ . Si  $X_{st}$  et  $Y_{st}$  sont les familles de champs de vecteurs sur M définies par:

$$X_{st}(x) = \frac{dh_{s,t}}{dt}(h_{s,t}^{-1}(x)); \qquad Y_{st}(x) = \frac{dh_{s,t}}{ds}(h_{s,t}^{-1}(x)), \qquad x \in M$$

alors, on a:

$$\frac{\partial X_{st}}{\partial s} = \frac{\partial Y_{st}}{\partial t} + [X_{st}, Y_{st}].$$

Démonstration. La famille  $h_{s,t}$  définit un feuilletage sur  $M \times (I \times I)$  transverse aux fibres de la projection  $p: M \times (I \times I) \to (I \times I)$ . Soient  $\partial/\partial t$  et  $\partial/\partial s$  les champs de vecteurs constants sur  $I \times I$ . Les champs  $X' = X_{st} + \partial/\partial t$  et  $Y' = Y_{st} + \partial/\partial s$  sont tangents aux feuilles. D'après le critère d'intégrabilité, [X', Y'] doit aussi être tangent aux feuilles. Or  $p_*[X', Y'] = [\partial/\partial t, \partial/\partial s] = 0$ . Donc [X', Y'] est vertical. Comme les fibres sont transverses aux feuilles, [X', Y'] doit être nul. Il en résulte:

$$0 = [X_{st}, Y_{st}] + \left[\frac{\partial}{\partial t}, Y_{st}\right] + \left[X_{st}, \frac{\partial}{\partial s}\right] = [X_{st}, Y_{st}] + \frac{\partial Y_{st}}{\partial t} - \frac{\partial X_{st}}{\partial s}.$$

La proposition est démontrée.

Soit  $\Lambda(M) = \bigoplus \Lambda^p(M)$  l'algèbre des formes différentielles sur M. Pour tout champ de vecteurs X, on définit les opérations de dérivée de Lie  $L_X$  et de produit intérieur i(X). La dérivée de Lie  $L_X$  est l'unique dérivation de l'algèbre  $\Lambda(M)$  de

degré 0, déterminée par les conditions suivantes:

$$L_X(f) = df(X),$$
  $L_X(df) = dL_X(f)$ 

pour toute fonction f.

Le produit intérieur i(X) est l'antidérivation de degré -1 qui à la p-forme  $\alpha$  associe la (p-1)-forme  $i(X)\alpha$  telle que pour (p-1) champs de vecteurs  $Y_1, Y_2, \ldots, Y_{p-1}$ , on ait:

$$(i(X)\alpha)(Y_1, Y_2, \ldots, Y_{p-1}) = \alpha(X, Y_1, Y_2, \ldots, Y_{p-1}).$$

Si d est la différentielle extérieure, on a les formules suivantes:

$$L_X = di(X) + i(X)d$$
$$i([X, Y]) = L_X i(Y) - i(Y)L_X.$$

Les propositions suivantes (I.1.2 et I.1.3) sont des faits bien connus que nous utiliserons fréquemment dans la suite.

PROPOSITION I.1.2. Soit  $\alpha_t$  une famille de formes différentielles sur une variété compacte M. Il y a équivalence entre les énnoncés suivants:

- (i) Il existe une isotopie  $h_t$  de M telle que  $h_t^* \alpha_t = \alpha_0$
- (ii) Il existe une famille de champs de vecteurs  $X_t$  telle que  $L_{X_t}\alpha_t + \partial \alpha_t/\partial t = 0$

Démonstration (cf [12]). La proposition résulte immédiatement de la formule suivante:

$$\frac{d}{dt}\left(h_t^*\alpha_t\right) = h_t^*\left(L_{h_t}\alpha_t + \frac{\partial \alpha t}{\partial t}\right).$$

PROPOSITION I.1.3. Soit α une forme fermée et soit h, une isotopie, alors

$$h_t^*\alpha - \alpha = d\beta_t$$
 avec  $\beta_t = \int_0^t h_s^*(i(\dot{h_s})\alpha) ds$ .

Démonstration.

$$\frac{d}{ds}(h_s^*\alpha) = h_s^*(L_{h_s}\alpha) = h_s^*(di(\dot{h_s})\alpha) = d(h_s^*(i(\dot{h_s})\alpha)).$$

On a donc:

$$h_t^*\alpha - \alpha = \int_0^t \frac{d}{ds} (h_s^*\alpha) ds = d \left[ \int_0^t h_s^*(i(\dot{h_s})\alpha)) ds \right].$$

D'où la proposition

# 2. Formes symplectiques

Une forme-volume sur une variété différentiable M de dimension n est une n-forme partout non nulle. Une telle forme existe si et seulement si M est orientée.

Une forme symplectique sur une variété différentiable de dimension paire 2n est une 2-forme fermée  $\Omega$  telle que  $\Omega^n = \Omega \wedge \Omega \wedge \cdots \wedge \Omega$  soit une forme-volume. C'est une 2-forme de rang maximum: ceci veut dire que l'application  $\mu$  qui associe à un champ de vecteurs X de M la 1-forme  $i(X)\Omega$  est un isomorphisme de 1'espace des champs de vecteurs tangents à M sur celui des 1-formes. Si M est munie d'une forme symplectique  $\Omega$ , nous dirons que le couple  $(M, \Omega)$  est une variété symplectique.

Soit f une fonction de classe  $C^{\infty}$  sur une variété symplectique  $(M, \Omega)$ . Le champ de vecteurs  $X_f = \mu^{-1}(df)$  sera appelé le gradient symplectique de f. Si X est un champ de vecteurs tel que la 1-forme  $i(X)\Omega$  soit exacte, une fonction f telle que  $i(X)\Omega = df$  s'appelle un hamiltonnien de X.

Un champ de vecteur X sur  $(M, \Omega)$  sera dit un champ de vecteurs symplectique si le groupe à 1-paramètre qu'il engendre préserve la forme  $\Omega$ . Si X est un champ symplectique, on a:  $L_X\Omega=0$ . Comme  $\Omega$  est fermée, cette condition exprime que la 1-forme  $i(X)\Omega$  est fermée.

Soit  $(M,\Omega)$  une variété symplectique de dimension 2n. Pour tout point x de M, il existe un voisinage U de x et un système de coordonnées locales  $h: \mathbb{R}^{2n} \to U$  tel que si  $\Omega|_U$  est la restriction de  $\Omega$  à U, alors  $h^*(\Omega|_U)$  soit la forme symplectique canonique  $dx_1 \wedge dx_2 + dx_3 \wedge dx_4 + \cdots + dx_{2n-1} \wedge dx_{2n}$  de  $\mathbb{R}^{2n}$ . C'est le théorème de Darboux (voir par exemple [10]). La carte (h, U) s'appelle une carte canonique.

# 3. Plongements symplectiques des boules

Soient X et Y deux variétés symplectiques. Un plongement de X dans Y sera dit symplectique s'il transporte la forme symplectique de Y sur celle de X. Deux plongements symplectiques  $f_0$  et  $f_1$  de X dans Y seront dits isotopes s'il existe une

famille (différentiable) à 1-paramètre de plongements symplectiques  $P_t: X \to Y$  telle que  $P_0 = f_0$  et  $P_1 = f_1$ .

L'analogue différentiable de la proposition suivante est bien connu:

PROPOSITION I.3.1. Deux plongements symplectiques d'une boule B de  $\mathbb{R}^{2n}$  dans  $\mathbb{R}^{2n}$  sont isotopes.

Démonstration. Il suffit de montrer que tout plongement symplectique h de B dans  $\mathbb{R}^{2n}$  est isotope au plongement naturel  $i:B\hookrightarrow \mathbb{R}^{2n}$ . Remarquons d'abord que h est isotope à un plongement symplectique  $\bar{h}$  tel que  $\bar{h}(0)=0$ . En effet si T est une translation telle que T(h(0))=0, on prend  $\bar{h}=T\cdot h$ .

Pour tout  $t \in ]0, 1]$ , soit  $R_t$  l'homothétie de rapport t dans  $\mathbf{R}^{2n}$ . On a:  $R_t(B) \subset B$  et  $R_t^*\Omega = t^2 \cdot \Omega$ , où  $\Omega$  est la restriction à B de la forme symplectique standard de  $\mathbf{R}^{2n}$ . Il est clair que  $R_t^{-1} \cdot \bar{h} \cdot R_t$  est un plongement symplectique de B dans  $\mathbf{R}^{2n}$  et que sa dérivés en 0 est le plongement symplectique linéaire suivant:

$$h'(0)(x) = \lim_{t\to 0} \frac{\bar{h}(tx)}{t} = \lim_{t\to 0} (R_t^{-1} \cdot \bar{h} \cdot R_t)(x).$$

La famille:

$$H_{t} = \begin{cases} R_{t}^{-1} \cdot \bar{h} \cdot R_{t} & \text{pour } 0 < t \leq 1 \\ h'(0) & \text{pour } t = 0 \end{cases}$$

est une famille continue de plongements symplectiques telle que  $H_1 = \bar{h}$ . Cette famille est homotope relativement aux extrémités à une famille différentiable (par changement convenable de paramètre) de plongements symplectiques.

Nous venons de montrer que h est isotope à un plongement symplectique linéaire. Comme le groupe symplectique linéaire Sp(n) est connexe par arcs différentiables, tout plongement symplectique linéaire est isotope au plongement naturel  $i:B \hookrightarrow R^{2n}$ . La proposition est démontrée.

La proposition suivante donne une précision sur le support de l'isotopie entre deux plongements symplectiques de boules.

PROPOSITION I.3.2. Soit V un ouvert convexe de  $R^{2n}$  contenu dans une boule  $B_{r/8}$  de centre 0 et de rayon r/8. Il existe un  $\varepsilon > 0$  tel que pour tout difféomorphisme symplectique  $h: V \to B_{r/8}$  vérifiant:

$$1 - \varepsilon \le \frac{\|h'(x)(y)\|}{\|y\|} \le 1 + \varepsilon \quad (*)$$

pour x et y dans V, il existe une isotopie symplectique  $H_t$  de  $\mathbb{R}^{2n}$  à support dans  $B_r$  et telle que  $H_1|_V = h$ .

Démonstration. En composant éventuellement avec une translation, on peut supposer que h(0) = 0. La condition plus haut et la formule de la moyenne impliquent que pour tout  $t \in [0, 1]$ ,  $x \in V$ , on a:  $||h(tx)|| \le t ||x|| (1 + \varepsilon)$ . Donc pour  $t \in [0, 1], x \in V, h(tx)/t \in B_{r/4}$ . Si h'(0) est la dérivée en 0, on a aussi que  $h'(0)(V) \subset B_{r/4}$ . La condition (\*) signifie que  $h'(0) \in Sp(n)$  est proche du compact maximal U(n) de Sp(n). Soit  $p: T(U(n)) \to U(n)$  un  $C^{\infty}$ -voisinage tublaire dans Sp(n). Alors en identifiant T(U(n)) avec un voisinage de U(n) dans Sp(n), on peut écrire que  $h'(0) \in T(U(n))$ . Soit  $g_t \in Sp(n)$  l'isotopie de h'(0) à l'identité obtenue en composant les chemins  $a_t$  et  $b_t$  où  $a_t$  joint h'(0) à p(h'(0)) dans T(U(n)) et  $b_t$  joint p(h'(0)) à l'identité dans U(n). Alors  $g_t(V) \subset B_{r/2}$ . Soit  $G_t$  le chemin reliant h à l'identité obtenu en composant le chemin allent de h à h'(0) et le chemin  $g_t$  ci-dessus. Alors  $G_t(V) \subset B_{r/2}$ . Soit u une fonction  $C^{\infty}$  à support dans  $B_r$ , égale à sur  $B_{r/2}$  et soit  $f_t$  un hamiltonnien de  $G'_t$ , où  $G'_t$  est l'isotopie obtenue par lissage de G<sub>t</sub>. Si H<sub>t</sub> est l'isotopie symplectique obtenue en intégrant le gradient symplectique de  $u \cdot f_t$ , alors supp  $(H_t) \subset B_r$  et  $H_1|_{V} = h$ . La proposition est démontrée.

#### CHAPITRE II

# CONSTRUCTION DES INVARIANTS ET ENNONCE DES RESULTATS

# 1. L'invariant S

Soit  $h_t$  une isotopie dans  $\operatorname{Diff}_{\Omega}^{\infty}(M)$ . Nous allons montrer que la forme  $\sum (h_t) = \int_0^1 i(\dot{h}_t) \Omega dt$  est une 1-forme fermée dont la classe de cohomologie ne dépend que de la classe d'homotopie de  $h_t$  relativement aux extrémités. Plus précisément, on a la proposition suivante, qui est dûe à Calabi [6]:

PROPOSITION II.1.1. Soit  $(M, \Omega)$  une variété symplectique et soit  $G_{\Omega}(M)$  le revêtement universel du groupe  $\mathrm{Diff}_{\Omega}^{\infty}(M)_0 = G_{\Omega}(M)$ . Il existe un homomorphisme surjectif et continu:

$$\widetilde{S}: \widetilde{G_{\Omega}(M)} \to H^1_c(M, \mathbf{R})$$

où  $H_c^1(M, \mathbb{R})$  est le premier groupe de cohomologie de de Rham à supports compacts.

Démonstration. D'après Weinstein [20],  $G_{\Omega}(M)$  est localement contractible; donc aussi localement connexe par arcs différentiables. Il en résulte que les éléments  $\tilde{h}$  de  $G_{\Omega}(M)$  sont des paires  $(h, \{h_t\})$  où  $h \in G_{\Omega}(M)$  et  $\{h_t\}$  est une classe d'homotopie d'isotopies symplectiques de h à l' $id_M$ . Comme  $h_t$  est dans  $G_{\Omega}(M)$ ,  $\dot{h}_t$  est un champ de vecteurs symplectiques, c.à.d. que  $i(\dot{h}_t)\Omega$  est une 1-forme fermée. Il en est de même de la 1-forme:

$$\sum_{t} (h_{t}) = \int_{0}^{1} i(\dot{h}_{t}) \Omega dt.$$

Soit  $h'_i$  une autre isotopie dans  $\mathrm{Diff}^\infty_\Omega(M)$  telle que  $h'_1 = h_1 = h$  et qui est homotope à  $h_i$ . Ceci veut dire qu'il existe une famille différentiable à 2-paramètres  $H_{s,t}$  d'éléments de  $\mathrm{Diff}^\infty_\Omega(M)$  telle que:

$$H_{s,0} = id_M$$
  $H_{s,1} = h$  pour tout  $s \in I$   
 $H_{0,t} = h_t$   $H_{1,t} = h'_t$  pour tout  $t \in I$ .

Considérons les champs de vecteurs  $X_{s,t}$  et  $Y_{s,t}$  définis par:

$$X_{s,t}(x) = \frac{\partial H_{s,t}}{\partial t} \left( H_{s,t}^{-1}(x) \right) \qquad Y_{s,t}(x) = \frac{\partial H_{s,t}}{\partial_s} \left( H_{s,t}^{-1}(x) \right).$$

Si on pose:  $\sum (H_{s,t}) = \int_0^1 i(X_{s,t}) \Omega dt$ , on a:  $\sum (H_{0,t}) = \sum (h_t)$  et  $\sum (H_{1,t}) = \sum (h_t')$ . Calculons la variation de la famille  $\sum (H_{s,t})$ :

$$\frac{\partial}{\partial s}\sum_{s,t}(H_{s,t})=\int_{0}^{1}i\left(\frac{\partial X_{s,t}}{\partial s}\right)\Omega dt=\int_{0}^{1}i\left(\frac{\partial Y_{s,t}}{\partial t}\right)\Omega dt+\int_{0}^{1}i\left([X_{s,t},Y_{s,t}]\right)\Omega dt.$$

La dernière ligne résulte de la proposition I.1.1. Les champs  $Y_{s,0}$  et  $Y_{s,1}$  sont nuls. Il en résulte:

$$\int_0^1 i \left( \frac{\partial Y_{s,t}}{\partial t} \right) \Omega dt = \int_0^1 \frac{\partial}{\partial t} \left( i(Y_{s,t}) \Omega \right) dt = i(Y_{s,1}) \Omega - i(Y_{s,0}) \Omega = 0.$$

D'autre part:

$$\int_{0}^{1} i([X_{st}, Y_{st}]) \Omega dt = \int_{0}^{1} (L_{X_{st}} i(Y_{st}) \Omega) dt = d \left\{ \int_{0}^{1} \Omega(Y_{st}, X_{st}) dt \right\}.$$

Donc:

$$\sum (h'_t) - \sum (h_t) = d\alpha, \quad \text{où} \quad \alpha = \int_{I \times I} \Omega(Y_{st}, X_{st}) \ dt \wedge ds.$$

Ceci montre que la classe de cohomologie de la forme  $\sum (h_t)$  est indépendante du choix de  $h_t$  dans sa classe d'homotopie relativement aux extrémités. La correspondance  $\tilde{h} \mapsto \tilde{S}(\tilde{h})$ , où  $\tilde{S}(\tilde{h})$  désigne la classe de cohomologie de  $\sum (h_t)$  définit une application continue:

$$\widetilde{S}: \widetilde{G_{\Omega}(M)} \to H^1_c(M, R).$$

Cette application est un homomorphisme de groupes: en effet soient  $\tilde{g}_i = (g_i, \{c_t^i\})$  deux éléments de  $G_{\Omega}(M)$ . Leur produit peut être représenté par l'isotopie  $c_t$  obtenue en faisant un changement convenable de paramètre dans le chemin différentiable par morceaux  $c_t'$  suivant (On dira que  $c_t$  est un lissage de  $c_t'$ ):

$$c'(t) = \begin{cases} c_{2t}^2 & \text{pour } 0 \le t \le \frac{1}{2} \\ c_{2t-1}^1 \cdot c_1^2 & \text{pour } \frac{1}{2} \le t \le 1. \end{cases}$$

Il est évident que  $\sum (c_t) = \sum (c_t^1) + \sum (c_t^2)$ . L'application  $\tilde{S}$  est donc un homomorphisme. Il est évidemment continu.

Soit  $\theta$  une 1-forme fermée à support compact représentant un élément  $[\theta]$  de  $H_c^1(M, R)$ . Le champ de vecteurs X défine par  $i(X)\Omega = \theta$  est un champ symplectique. Soit  $\tilde{h} = (h, \{h_i\}) \in \widetilde{G_\Omega(M)}$ , où  $h_i$  est le groupe à un paramètre engendré par X, alors  $\tilde{S}(\tilde{h}) = [\theta]$ . D'où la surjectivité. La proposition est démontrée.

Remarque II.1.2. Soit  $\gamma: I \to M$  un 1-simplexe singulier différentiable dans M. Pour toute isotopie symplectique  $h_t$ , on considère l'application  $G: I \times I \to M$  définie par:

$$G(s, t) = h_t(\gamma(s)).$$

On montre facilement la formule suivante [6]:

$$\int_{I\times I} G^*\Omega = \int_{\gamma} \sum_{t} (h_t). \tag{*}$$

D'autre part, les 1-formes  $\sum (h_t)$  et  $\int_0^1 h_t^* i(\dot{h}_t) \Omega dt$  sont cohomologues. De là résultent des définitions équivalentes de l'invariant  $\tilde{S}$ .

DÉFINITION DE L'HOMOMORPHISME S. Désignons par  $\Gamma$  l'image par  $\tilde{S}$  du sous-groupe  $\pi_1(G_{\Omega}(M))$  de  $G_{\Omega}(M)$ . Par passage au quotient, on obtient un homomorphisme surjectif et continu:

$$S: G_{\Omega}(M) \to H^1_c(M, R)/\Gamma$$
.

Le sous-groupe  $\Gamma$ 

Soit  $P_{\Omega}$  le sous-groupe de **R** formé des périodes de  $\Omega$ , c.à.d. que  $P_{\Omega}$  est le sous-ensemble de **R** formé des a tels que  $a = \int_c \Omega$ , où c est un 2-cycle entier de M. Il résulte de la formule (\*) ci-dessus que  $\Gamma \subset H_c^1(M, P_{\Omega})$ . En particulier,  $\Gamma$  est dénombrable si M est à base dénombrable. De plus, si la forme  $\Omega$  est à périodes entières, alors  $\Gamma$  est discret. Nous allons montrer qu'il en est encore ainsi si la forme symplectique  $\Omega$  provient d'une métrique kählérienne sur M.

Soit  $\omega$  une forme-volume sur une variété différentiable M de dimension n et soit K un compact de M. On munit de la  $C^{\infty}$ -topologie le groupe  $\mathrm{Diff}_{K,\omega}^{\infty}(M) = \{h \in \mathrm{Diff}^{\infty}(M) \mid \mathrm{supp}(h) \subset K \text{ et } h^*\omega = \omega\}$ . Soit  $\mathrm{Diff}_{\omega}^{\infty}(M) = \mathrm{lim}_{\longrightarrow} \mathrm{Diff}_{K,\omega}^{\infty}(M)$  et  $\mathrm{Diff}_{\omega}^{\infty}(M)_0$  la composante connexe de l'identité dans  $\mathrm{Diff}_{\omega}^{\infty}(M)$ . Soit  $h_t$  une isotopie dans  $\mathrm{Diff}_{\omega}^{\infty}(M)$  et  $\{h\}$  sa classe dans  $\mathrm{Diff}_{\omega}^{\infty}(M)_0$ . Thurston [16] a montré que la classe de cohomologie  $\tilde{V}(\{h\})$  de la (n-1)-forme fermée  $\int_0^1 i(\dot{h_t})\omega \, dt$ , ne dépend pas du choix des représentants de  $\{h\}$  et que la correspondance  $\{h\} \mapsto \tilde{V}(\{h\})$  est un homomorphisme surjectif et continu  $\tilde{V}: \mathrm{Diff}_{\omega}^{\infty}(M)_0 \to H_c^{n-1}(M, \mathbb{R})$ .

Soit  $(M, \Omega)$  une variété symplectique de dimension 2n. Alors  $\omega = \Omega^n$  est une forme-volume. On a l'inclusion  $\mathrm{Diff}^\infty_\Omega(M) \subset \mathrm{Diff}^\infty_\omega(M)$ . Soit  $h_t$  une isotopie dans  $\mathrm{Diff}^\infty_\Omega(M)$ , alors:

$$\int_0^1 i(\dot{h_t})\omega dt = n \int_0^1 (i(\dot{h_t})\Omega) \wedge \Omega^{n-1} dt = n \left( \int_0^1 i(\dot{h_t})\Omega \right) dt \right) \wedge \Omega^{n-1}.$$

On a donc le diagramme commutatif suivant:

$$\widetilde{\operatorname{Diff}_{\Omega}^{\infty}(M)_{0}} \xrightarrow{\tilde{\varsigma}} H_{\varsigma}^{1}(M, \mathbb{R})$$

$$\downarrow \downarrow \qquad \qquad \downarrow \wedge n\Omega^{n-1}$$

$$\widetilde{\operatorname{Diff}_{\omega}^{\infty}(M)_{0}} \xrightarrow{\tilde{v}} H_{c}^{2n-1}(M, \mathbb{R}).$$

La dernière flèche verticale étant induite par la multiplication par  $\Omega^{n-1}$ .

Supposons que la multiplication par  $\Omega^{n-1}$  induise un isomorphisme  $H_c^1(M, \mathbb{R}) \to H_c^{2n-1}(M, \mathbb{R})$ . Ceci est le cas par exemple si  $\Omega$  provient d'une

métrique käehlérienne sur M [19]. Il résulte de la commutativité du diagramme ci-dessus, que  $\Gamma = \tilde{S}(\pi_1(\operatorname{Diff}_{\Omega}^{\infty}(M)_0))$  est isomorphe à  $\tilde{V}(i(\pi_1(\operatorname{Diff}_{\Omega}^{\infty}(M)_0)))$ . Or, d'après [16], ce dernier groupe est discret. Il en est donc de même de  $\Gamma$ .

Je n'ai pas d'exemple de variété symplectique  $(M,\Omega)$  où le sous-groupe  $\Gamma$  ne soit pas discret.

Construction directe de l'invariant S dans le cas où  $\Omega$  est exacte

D'après ce qui précède, si  $\Omega$  est exacte,  $\Gamma$  est trivial. On a donc un homomorphisme  $S: G_{\Omega}(M) \to H^1_c(M, \mathbb{R})$ . Nous nous proposons de construire directement cet homomorphisme sans utiliser les isotopies.

Soit  $\lambda$  une 1-forme telle que  $d\lambda = \Omega$ . Pour tout  $h \in G_{\Omega}(M)$ , la 1-forme  $h^*\lambda - \lambda$  est une 1-forme fermée à support compact. Sa classe de cohomologie  $[h^*\lambda - \lambda] \in H^1_c(M, \mathbf{R})$  est indépendante du choix de  $\lambda$ . En effet soit  $\lambda'$  une autre 1-forme telle que  $d\lambda' = \Omega$ , alors  $\lambda' - \lambda$  est fermée. Donc la 1-forme suivante est exacte:  $(h^*\lambda' - \lambda') - (h^*\lambda - \lambda) = h^*(\lambda' - \lambda) - (\lambda' - \lambda)$ . Donc  $[h^*\lambda - \lambda]$  est indépendante du choix de  $\lambda$ .

On voit immédiatement que  $[h^*\lambda - \lambda] = S(h)$ . En effet si  $h_t$  est une isotopie symplectique de h à l'identité, on a:

$$h^*\lambda - \lambda = \int_0^1 h_t^*(L_{\dot{h}_t}\lambda) dt = \int_0^1 h_t^*i(\dot{h}_t)\Omega dt + d\left(\int_0^1 h_t^*(i(\dot{h}_t)\lambda) dt\right).$$

Remarque. Dans les constructions de l'invariant S, nous n'avons utilisé que le seul fait que  $\Omega$  est fermée. Soit donc  $G_{\omega}(M)$  la composante connexe par arcs différentiables dans le groupe des  $C^{\infty}$ -difféomorphismes d'une variété différentiable M, à support compact et qui préservent une p-forme fermée  $\omega$ , et soit  $G_{\omega}(M)$  son revêtement universel. On obtient avec les mêmes constructions, un homomorphisme  $\tilde{S}_{\omega}: \tilde{G}_{\omega}(M) \to H_c^{p-1}(M, \mathbb{R})$  et si  $\omega$  est exacte,  $S_{\omega}: G_{\omega}(M) \to H_c^{p-1}(M, \mathbb{R})$ .

# 2. L'invariant S comme obstruction à l'extension des isotopies symplectiques

Dans la suite, nous aurons à résoudre le problème suivant: étant donnés une variété symplectique  $(M, \Omega)$ , un sous-ensemble fermé F dans M et  $h_t$  une isotopie de M qui préserve la forme  $\Omega$  sur un voisinage de F, trouver une isotopie  $\bar{h}_t$  symplectique partout et qui coincide avec  $h_t$  au voisinage de F. C'est un problème d'"extension des isotopies symplectiques." La solution est donnée par le résultat suivant:

THÉORÈME II.2.1. Soit  $(M, \Omega)$  une variété symplectique compacte, F un fermé dans M et  $h_t$  une isotopie symplectique au voisinage de F. Supposons que

$$\int_{C} h_{t}^{*} \Omega - \Omega = 0$$

pour toute 2-chaine singulière différentiable c dont le bord est dans F. (c.à.d. que les périodes relatives de  $h_t^*\Omega - \Omega$  modulo F sont toutes nulles) Il existe alors une isotopie symplectique  $\bar{h}_t$  qui coincide avec  $h_t$  au voisinage de F. De plus, pour tout voisinage V de l'identité (pour la  $C^{\infty}$ -topologie) dans  $C^{\infty}(I, \text{Diff}^{\infty}(M))$ , il existe un voisinage de l'identité W tel que si  $h_t$  appartient à W, alors  $h_t^{-1} \cdot \bar{h}_t$  est dans V.

Ce théorème résulte du lemme suivant, qui est un "théorème de de Rham relatif avec paramètre."

LEMME II.2.2. Soit M une variété différentiable et  $\theta_t$  une famille à 1-paramètre de p-formes, nulles au voisinage d'un fermé F de M et dont les périodes relatives modulo F sont toutes nulles. Il existe alors une famille à 1-paramètre de (p-1)-formes  $\alpha_t$  nulles au voisinage de F et telles que  $\theta_t = d\alpha_t$ .

Avant de démontrer ce lemme, nous allons rappeler quelques notions sur les produits tensoriels d'espaces vectoriels topologiques (EVT) (cf. par exemple [14] ou [18]).

Soient  $E_1$  et  $E_2$  deux EVT localement convexes. On note par  $E_1 \hat{\otimes}_{\pi} E_2$  respectivement  $E_1 \hat{\otimes}_{\epsilon} E_2$  leur produit tensoriel complété avec la topologie  $\pi$  respectivement avec la toploogie  $\epsilon$  (voir [14] pour la définition de ces topologies). Un EVT localement convexe E est dit nucléaire si pour tout EVT localement convexe F, alors  $E \hat{\otimes}_{\epsilon} F$  et  $E \hat{\otimes}_{\pi} F$  coincident. On montre que l'espace  $C^{\infty}(U)$  des fonctions de classe  $C^{\infty}$  d'un ouvert U de  $\mathbb{R}^n$  dans  $\mathbb{R}$  est un EVT nucléaire.

Soient  $u_i: E_i \to F_i$  deux surjections linéaires d'EVT, où les  $E_i$  sont métrisables, alors  $u_1 \hat{\otimes}_{\pi} u_2: E_1 \hat{\otimes}_{\pi} E_2 \to F_1 \hat{\otimes}_{\pi} F_2$  est une surjection.

Soit U un ouvert de  $\mathbb{R}^n$  et E un EVT complet. Si  $C^{\infty}(U, E)$  est l'espace des applications de classe  $C^{\infty}$  de U dans E, on a l'isomorphisme:

$$C^{\infty}(U, E) \cong C^{\infty}(U) \hat{\otimes}_{\star} E \cong C^{\infty}(U) \hat{\otimes}_{\pi} E.$$

On omet la mention  $\pi$  ou  $\epsilon$  et on écrit:  $C^{\infty}(U, E) \cong C^{\infty}(U) \hat{\otimes} E$ .

Démonstration du lemme II.2.2. Soit  $\Lambda^p(M, V)$  (respectivement  $B^p(M, V)$ ) l'espace des p-formes nulles sur un voisinage convenable V de F (respectivement

des p-formes fermées dont la classe de cohomologie relative modulo V sont nulles), muni de la topologie  $C^{\infty}$ . Par voisinage convenable V de F, nous entendons une sousvariété à bord approximant F. Le théorème de de Rham relatif dit que

$$d: \Lambda^{p-1}(M, V) \rightarrow B^p(M, V)$$

est une surjection linéaire d'espaces de Fréchet. D'après ce qui précède,

$$d\hat{\otimes} id_{\mathcal{M}}: C^{\infty}(I)\hat{\otimes} \Lambda^{p-1}(M, V) \to C^{\infty}(I)\hat{\otimes} B^{p}(M, V)$$

est encore une surjection.

Une famille à 1-paramètre de p-formes n'est rien d'autre qu'une application de classe  $C^{\infty}$  de 1 dans l'espace des p-formes, c.à.d. un élément de  $C^{\infty}(I, \Lambda^p(M))$ . Comme  $C^{\infty}(I, \Lambda^{p-1}(M, V)) \cong C^{\infty}(I) \hat{\otimes} \Lambda^{p-1}(M, V)$  et même chose en remplaçant  $\Lambda^{p-1}(M, V)$  par  $B^p(M, V)$ , on obtient la surjection

$$C^{\infty}(I, \Lambda^{p-1}(M, V)) \rightarrow C^{\infty}(I, B^{p}(M, V))$$

Le lemme est démontré.

Démonstration du théorème II.2.1. La famille à 1-paramètre

$$\dot{\Omega}_t = \frac{\partial}{\partial t} \Omega t$$
 où  $\Omega_t = h_t^* \Omega$ ,

vérifie les hypothèses du lemme II.2.2. Il existe donc une famille à 1-paramètre de 1-formes  $\alpha_t$  nulles au voisinage de F telles que  $d\alpha_t = \dot{\Omega}_t$ . Suivant Moser [14], on définit une famille à 1-paramètre de champs de vecteurs symplectiques  $X_t$  par l'équation:  $i(X_t)\Omega_t = -\alpha_t$ . On aura alors que  $L_{X_t}\Omega_t + \dot{\Omega}_t = 0$ . Si  $\psi_t$  est la famille de difféomorphismes symplectiques obtenue en intégrant le champ  $X_t$  (avec la condition initiale  $\psi_0(x) = x$ ), alors d'après la proposition I.1.2,  $\psi_t^* \Omega_t = \Omega_0 = \Omega$ . De plus,  $\psi_t$  eidentité au voisinage de F; ainsi  $\bar{h}_t = h_t \cdot \psi_t$  est une isotopie symplectique et coincide avec  $h_t$  au voisinage de F.

L'isotopie  $\psi_t$  dépend continuement de  $\alpha_t$ : donc pour tout voisinage V de l'identité dans  $C^{\infty}(I, \operatorname{Diff}^{\infty}(M))$ , il existe un voisinage T de 0 dans  $C^{\infty}(I, \Lambda^1(M, V))$  tel que si  $\alpha_t$  est dans T, alors  $\psi_t$  soit dans V. D'après le théorème de l'application ouverte, l'image de T par la différentielle extérieure est un voisinage S de 0 dans  $C^{\infty}(I, B^2(M, V))$ .

D'autre part, il est clair que pour tout voisinage U de 0 dans  $C^{\infty}(I, B^2(M, V))$ ,

il existe un voisinage W de l'identité dans  $C^{\infty}(I, \operatorname{Diff}^{\infty}(M))$  tel que si  $h_{t}$  est dans W, alors  $\dot{\Omega}_{t}$  est dans U.

On choisit U = S. Soit W = W(S) le voisinage de l'identité dans  $C^{\infty}(I, \operatorname{Diff}^{\infty}(M))$  correspondant. Si  $h_t$  est dans W, alors  $\dot{\Omega}_t \in U = S = d(T)$ . c.à.d. que  $\dot{\Omega}_t = d\alpha_t$  avec  $\alpha_t \in T$ . Il en résulte que  $\psi_t = h_t^{-1} \cdot \bar{h}_t \in V$ . Le théorème est démontré.

Formulation du théorème II.2.1. à l'aide de l'invariant S

Soit  $h_t$  une isotopie de M, symplectique sur un fermé  $F \subseteq M$  et soit  $X_{st}$  la famille de champs de vecteurs définie par:

$$X_{st}(x) = \frac{d}{ds} h_{s \cdot t}(h_{s \cdot t}^{-1}(x)).$$

D'après la proposition I.1.3, on a pour tout t

$$h_t^*\Omega - \Omega = d\sum'(h_{st})$$
 où  $\sum'(h_{st}) = \int_0^1 h_{s-t}^*(i(X_{st})\Omega) ds$ .

La restriction  $\sum_{s,t}^{m}(h_{st})$  de  $\sum_{s,t}^{m}(h_{st})$  à F est une famille de 1-formes fermées dont les classes de cohomologie ne dépendent que de la classe d'homotopie d'isotopies symplectiques sur F, reliant pour tout t,  $h_t$  à l'identité.

Dans le cas où  $h_t$  est une isotopie symplectique sur M, la classe de cohomologie de  $\sum (h_{st}) = \int_0^1 i(X_{st}) \Omega \, ds$  (qui est la même que celle de  $\sum' (h_{st})$ ) est la valeur de l'invariant  $\tilde{S}$  sur  $\tilde{h_t}$ , où  $\tilde{h_t}$  est l'élément de  $G_{\Omega}(M)$  représenté par l'isotopie  $s \mapsto h_{s \cdot t}$ . Par analogie, on peut dire que la classe de cohomologie de  $\sum'' (h_{st})$  est la valeur  $\tilde{S}_F(\tilde{h_t})$  d'un "invariant  $\tilde{S}_F$  relatif" sur l'élément  $\tilde{h_t}$ .

Soit  $\partial$  l'opérateur cobord  $\partial: H^1(F) \to H^2(M, F)$  dans la suite exacte de cohomologie réelle de la paire (M, F). Le théorème II.2.1 prend alors la forme suivante:

THÉORÈME II.2.3. Soit  $h_t$  une isotopie de M, symplectique sur un fermé  $F \subseteq M$ . La condition nécessaire et suffisante pour qu'il existe une isotopie  $\bar{h_t}$ , symplectique partout et qui coincide avec  $h_t$  sur F, est que l'élément  $\partial(\tilde{S}_F(\tilde{h_t}))$  de  $H^2(M, F)$  soit nul.

# 3. Quelques propriétés du groupe Ker S(M)

Dans ce paragraphe, nous démontrons quelques propriétés topologiques du groupe Ker S(M). Rappelons qu'un élément  $h \in G_{\Omega}(M)$  est dans Ker S(M) s'il

existe une isotopie symplectique  $h_t$  de h à  $\mathrm{id}_M$  telle que la forme  $\sum (h_t)$  soit exacte.

PROPOSITION II.3.1. Le groupe Ker S(M) est connexe par arcs différentiables.

Démonstration. Soit  $h \in \text{Ker } S(M)$  et soit  $h_t$  une isotopie symplectique de h à  $\text{id}_M$  telle que  $\sum (h_t) = dg$ , où g est une fonction à support compact. Si on fixe  $t \in I$ , alors  $h_{s+t}$ ,  $s \in I$ , est une isotopie de  $h_t$  à  $\text{id}_M$ . Soit  $X_{st}$  la famille de champs de vecteurs définie par:

$$X_{st}(x) = \frac{dh_{s+t}}{ds}(h_{s+t}^{-1}(x)).$$

Posons:

$$\alpha_t = \int_0^1 i(X_{st}) \Omega \, ds.$$

Soit  $Y_t$  la famille de champs de vecteurs définie par:  $i(Y_t)\Omega = \beta_t$  où  $\beta_t = \alpha_t - t\alpha_1$ . On a:

$$\int_0^1 i(X_{st} - Y_t) \Omega \, ds = d(t \cdot g).$$

Si  $H_{st}$  est la famille à 2-paramètres de difféomorphismes symplectiques définie par intégration (en s) de la famille de champs de vecteurs  $Z_{st} = X_{st} - Y_t$  autrement dit  $H_{st}$  est la famille de difféomorphismes telle que  $H_{0,t} = \mathrm{id}_M$  et

$$\frac{\partial H_{st}}{\partial s}(H_{s,t}^{-1}(x)) = Z_{st}(x).$$

Il est clair que  $H_{s,1} = h_s$  pour tout  $s \in I$  et que  $H_{1,t} \in \text{Ker } S(M)$  pour tout t. Comme  $H_{1,1} = h$  et que  $H_{1,0} = \text{id}_M$ ,  $H_{1,t}$  est un chemin différentiable dans Ker S(M) qui relie h à l'identité. D'où la proposition.

Remarque II.3.2. D'après la proposition II.3.1, Ker S(M) est connexe. Mais en général, Ker S(M) pourrait ne pas être localement connexe. En fait, on a équivalence entre les énnoncés suivants:

- (i) Ker S(M) est localement connexe
- (ii) Le groupe  $\Gamma = \tilde{S}(\pi_1(G_{\Omega}(M)))$  est un sous-groupe discret de  $H_c^1(M, R)$ .

C'est par exemple le cas si  $\Omega$  est une forme symplectique à périodes entières ou si elle provient d'une métrique kählérienne sur M.

PROPOSITION II.3.3. Soit  $c_t$  une isotopie dans  $\operatorname{Ker} S(M)$ . Alors pour tout  $t_t$  la 1-forme  $i(\dot{c}_t)\Omega$  est exacte.

Démonstration. Le groupe  $\pi_1(G_{\Omega}(M))$  agit sur  $\widetilde{G_{\Omega}(M)}$ . Désignons par  $\pi_1(G_{\Omega}(M))$ . Ker  $\widetilde{S}(M)$  l'ensemble des orbites des points de Ker  $\widetilde{S}(M)$ . Il est clair que si  $p: \widetilde{G_{\Omega}(M)} \to G_{\Omega}(M)$  est la projection de revêtement, alors:

$$p^{-1}(\operatorname{Ker} S(M)) = \pi_1(G_{\Omega}(M)) \cdot \operatorname{Ker} \tilde{S}(M).$$

Tout chemin continu dans  $\operatorname{Ker} S(M)$  se relève en un chemin continu dans  $\pi_1(G_{\Omega}(M))$ .  $\operatorname{Ker} \tilde{S}(M)$ . Soit  $\tilde{c}_t$  un relèvement continu de l'isotopie  $c_t$  tel que  $\tilde{c}(0) = \operatorname{id}_M$ . Pour tout  $t, \tilde{S}(\tilde{c}_t) \in \Gamma$ . L'application  $t \mapsto \tilde{S}(\tilde{c}_t)$  est donc une courbe continue dans  $\Gamma$ . Comme  $\Gamma$  est dénombrable, cette courbe est constante. Donc  $\tilde{S}(\tilde{c}_t) = \tilde{S}(\tilde{c}_0) = 0$ , pour tout t, c.à.d. que  $\tilde{c}_t \in \operatorname{Ker} \tilde{S}(M)$ .

D'après la démonstration de la proposition II.3.1, il existe pour tout t, une isotopie  $s \mapsto H_{s,t}$  représentant  $\tilde{c}_t$  (i.e.  $H_{0,t} = \mathrm{id}_M$ ,  $H_{1,t} = \tilde{c}_t$ ) telle que l'image dans  $\widetilde{G}_{\Omega}(M)$  de l'isotopie  $s \mapsto H_{s,t}$  soit dans Ker  $\tilde{S}(M)$ , et que l'application  $(s, t) \mapsto H_{s,t}$  soit continue.

Pour tout  $t \in 1$ , l'application:

$$I \times I \ni (v, s) \mapsto H_{(v(s-1)+1),((1-v)s+v)t} \in \operatorname{Ker} S(M)$$

est une homotopie entre les chemins  $s \mapsto H_{s,t}$  et  $s \mapsto c_{s+t}$ . Si  $\bar{H}_{1,t}$  et  $\bar{c}_t$  sont les images de ces chemins dans  $G_{\Omega}(M)$ , on a donc que:  $\tilde{S}(\bar{c}_t) = \tilde{S}(\bar{H}_{1,t})$ . Mais la classe  $\tilde{S}(\bar{H}_{1,t})$  (et donc aussi la classe  $\tilde{S}(\bar{c}_t)$ ) est nulle. Si  $X_{st}$  est la famille de champs de vecteurs symplectiques définie par:

$$X_{st}(x) = \frac{dc_{st}}{ds}(c_{st}^{-1}(x)).$$

Alors la 1-forme:

$$\int_0^1 i(X_{st})\Omega ds = \int_0^t i(\dot{c}_s)\Omega ds$$

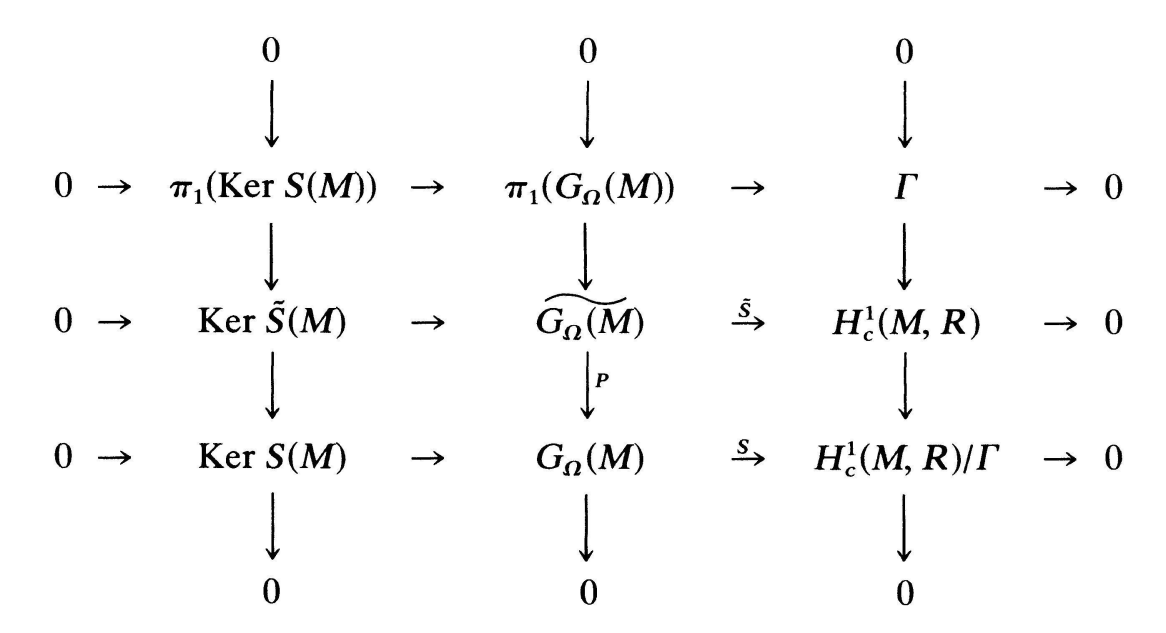
est exacte. Il en résulte que  $i(\dot{c}_t)\Omega = df_t$  avec  $f_t = dg_t/dt$ , où  $g_t$  est une famille de

fonctions telle que:

$$\int_0^t i(\dot{c}_s) \Omega \, ds = dg_t.$$

La proposition est démontrée.

Le noyau de la surjection  $\operatorname{Ker} \tilde{S}(M) \to \operatorname{Ker} S(M)$  est  $\pi_1(G_\Omega(M)) \cap \operatorname{Ker} \tilde{S}(M)$ . D'autre part,  $\operatorname{Ker} \tilde{S}(M)$ , ayant le type d'homotopie de  $G_\Omega(M)$ , est simplement connexe. Il en résulte que si l'on munit  $\operatorname{Ker} S(M)$  de la topologie quotient de  $\operatorname{Ker} \tilde{S}(M)$  par l'action de  $\pi_1(G_\Omega(M)) \cap \operatorname{Ker} \tilde{S}(M)$ , alors  $\operatorname{Ker} \tilde{S}(M)$  est le revêtement universel de  $\operatorname{Ker} S(M)$ ; on a donc que  $\pi_1$  ( $\operatorname{Ker} S(M)$ ) =  $\pi_1(G_\Omega(M)) \cap \operatorname{Ker} \tilde{S}(M)$ . En résumé, on a le diagramme suivant, avec les lignes et les colonnes exactes.



Remarque II.3.4. Pour terminer ce paragraphe, signalons une propriété de transitivité du groupe  $\operatorname{Ker} S(M)$ . Soit  $(M,\Omega)$  une variété symplectique close et connexe. Boothby [5] a montré que  $G_{\Omega}(M)$  est transitif. Pour  $x, y \in M$ , il construit un difféomorphisme  $h \in G_{\Omega}(M)$  tel que h(x) = y comme le composé de difféomorphismes symplectiques à supports dans de petites boules. Il est clair que de tels difféomorphismes sont dans  $\operatorname{Ker} S(M)$ . Il en résulte que  $h \in \operatorname{Ker} S(M)$ .

# 4. L'invariant R

La proposition suivante est dûe à Calabi [6], mais nous allons en donner une démonstration directe.

PROPOSITION II.4.1. Soit  $(M, \Omega)$  une variété symplectique ouverte et soit  $\widetilde{\operatorname{Ker}} S(M)$  le revêtement universel de  $\operatorname{Ker} S(M)$ . Il existe un homomorphisme surjectif et continu:

$$\widetilde{R}: \widetilde{\operatorname{Ker} S}(M) \to \mathbf{R}$$

La démonstration utilise le lemme suivant:

LEMME II.4.2. Soit  $(M,\Omega)$  une variété symplectique non compacte, sans bord. Soit  $\hat{\mathcal{L}}_{\Omega}(M)$  l'algèbre de Lie des champs de vecteurs symplectiques X sur M à support compact et tel que la forme  $i(X)\Omega$  soit exacte. Pour tout X dans  $\hat{\mathcal{L}}_{\Omega}(M)$  soit  $f_X$  l'unique hamiltonnien de X à support compact. Alors l'application  $r: \hat{\mathcal{L}}_{\Omega}(M) \to \mathbf{R}$  définie par:

$$X \mapsto \int_{M} f_{X} \Omega^{n}$$

est un homomorphisme surjectif d'algèbre de Lie

Démonstration. Il est clair que l'application r est additive et surjective. Il ne reste qu'à vérifier qu'elle s'annulle sur les crochets. Soient  $X_1$  et  $X_2$  dans  $\hat{\mathcal{L}}_{\Omega}(M)$ , on a:

$$i([X_1, X_2])\Omega = L_{X_1}i(X_2)\Omega = d(i(X_1)i(X_2)\Omega).$$

Donc:

$$f_{[X_1,X_2]} = i(X_1)i(X_2)\Omega.$$

Or:

$$0 = i(X_1)(i(X_2)\Omega \wedge \Omega^n) = (i(X_1)i(X_2)\Omega)\Omega^n - i(X_2)\Omega i(X_1)\Omega^n)$$
$$= f_{[X_1, X_2]}\Omega^n - n \cdot i(X_2)\Omega \wedge i(X_1)\Omega \wedge \Omega^{n-1}$$

c.à.d.

$$f_{[X,X_2]}\Omega^n = n \cdot df_{X_2} \wedge df_{X_1} \wedge \Omega^{n-1} = d(nf_{X_2} \cdot df_{X_1} \wedge \Omega^{n-1}).$$

La conclusion résulte de la formule de Stokes. Le lemme est démontré.

Démonstration de la proposition II.4.1. Soit  $\tilde{h} = (h, \{h_t\})$  un élément de Ker S(M). D'après la proposition II.3.3,  $\dot{h}_t \in \hat{\mathcal{L}}_{\Omega}(M)$ , pour tout t.

En reprennant les notations de la proposition II.1.1. soit  $h'_t$  une autre isotopie dans Ker S(M) telle que  $h'_1 = h_1 = h$ . On suppose que  $h'_t$  est homotope à  $h_t$  par une homotopie différentiable  $H_{st}$  dans Ker S(M). Soient  $X_{st}$  et  $Y_{st}$  les champs de vecteurs définis comme dans la démonstration de la proposition II.1.1, on a:

$$\frac{\partial}{\partial S} \int_{0}^{1} r(X_{st}) dt = \int_{0}^{1} r\left(\frac{\partial X_{s,t}}{\partial s}\right) dt$$

$$= \int_{0}^{1} r\left(\frac{\partial Y_{st}}{\partial t}\right) dt + \int_{0}^{1} r([X_{st}, Y_{st}]) dt = \int_{0}^{1} r\left(\frac{\partial}{\partial t} Y_{st}\right) dt.$$

La dernière ligne résulte de la proposition I.1.1 et du lemme II.4.2

Or:

$$\int_0^1 r\left(\frac{\partial}{\partial t} Y_{st}\right) dt = r(Y_{s,1}) - r(Y_{s,0}) = 0$$

car 
$$Y_{s,1} = Y_{s,0} = 0$$

Il en résulte que l'application:

$$\tilde{h} \mapsto \int_0^1 r(\dot{h}_t) dt$$

est bien définie. On montre que c'est un homomorphisme de  $\widetilde{\operatorname{Ker} S}(M)$  dans R comme dans la proposition II.1.1. La surjectivité ainsi que la continuité sont évidentes. La proposition est démontrée.

# Définition de l'invariant R

Désignons par  $\Lambda$  l'image par  $\tilde{R}$  du sous-groupe Ker P de Ker S(M), noyau de la projection naturelle P: Ker  $S(M) \rightarrow$  Ker S(M). Par passage au quotient, on obtient un homomorphisme surjectif et continu

$$R: \operatorname{Ker} S(M) \to \mathbf{R}/\Lambda$$

Construction directe de l'invariant R dans le cas où la forme  $\Omega$  est exacte

Notation: si  $\omega$  est une forme à support compact de degré maximum sur une variété différentiable M, nous dénoterons par  $[\omega]$  son intégrale sur M.

Soit  $\lambda$  une 1-forme telle que  $d\lambda = \Omega$ . Si  $h \in \text{Ker } S(M)$ , il existe une fonction unique à support compact  $f(h, \lambda)$  dépendant de h et de  $\lambda$  telle que  $h^*\lambda - \lambda = df(h, \lambda)$ . On a:

PROPOSITION II.4.3. Soit  $(M, \Omega)$  une variété symplectique de dimension 2n dont la forme symplectique est exacte. Alors pour tout  $h \in \text{Ker } S(M)$ , le nombre  $[f(h, \lambda) \cdot \Omega^n]$  est indépendant du choix de  $\lambda$  tel que  $d\lambda = \Omega$ . De plus la correspondance  $h \mapsto [f(h, \lambda) \cdot \Omega^n]$  est un homorphisme surjectif et continu  $\rho$  qui coincide à une constante près avec l'homomorphisme R. Plus précisément, on a:

$$\rho(h) = (n+1) \cdot R(h), \quad \forall h \in \text{Ker } S(M).$$

COROLLAIRE. Soit  $(M, \Omega)$  une variété symplectique dont la forme symplectique est exacte. Alors le groupe  $\Lambda$  est trivial.

Démonstration. Soit  $\lambda'$  une autre 1-forme telle que  $d\lambda' = \Omega$ . On a:

$$(h^*\lambda' - \lambda') - (h^*\lambda - \lambda) = d(f(h, \lambda') - f(h, \lambda))$$

$$= h^*(\lambda' - \lambda) - (\lambda' - \lambda) = d\left(\int_0^1 h_t^* i(\dot{h_t})(\lambda' - \lambda) dt\right)$$

où  $h_t$  est une isotopie dans Ker S(M) de h à l'identité. On a donc:

$$f(h, \lambda') = f(h, \lambda) + \int_0^1 h_t^* i(\dot{h_t})(\lambda' - \lambda) dt.$$

Soit  $f_t$  une famille de fonctions à support compact telle que  $i(\dot{h}_t)\Omega = df_t$ , on a:  $(h_t^*i(\dot{h}_t)(\lambda'-\lambda)\cdot\Omega^n = d(-n\cdot h_t^*(f_t\cdot(\lambda'-\lambda)\cdot\Omega^{n-1}))$ . Il en résulte donc que  $[f(h,\lambda')\Omega^n] = [f(h,\lambda)\Omega^n]$ . Donc  $\rho$  est bien définie.

D'autre part, on a:  $h_t^* \lambda - \lambda = \int_c^t h_s^* (L_{h_s}) \lambda \, ds = du_t$  où

$$u_t = \int_0^t (h_s^* i(\dot{h}_s) \lambda) ds + \int_0^t (\dot{f}_s \circ h_s) ds.$$

On a:  $[(h_s^*i(\dot{h}_s)\lambda)\cdot\Omega^n]=[i(\dot{h}_s)\lambda)\Omega^n]$  et  $[(f_s\circ h_s)\Omega^n]=[f_s\cdot\Omega^n]$ . De plus:  $i(\dot{h}_s)\lambda\cdot\Omega^n=n\cdot f_s\cdot\Omega^n-d(n\cdot f_s\cdot\lambda\wedge\Omega^{n-1})$ . Il en résulte que  $[i(\dot{h}_s)\lambda\cdot\Omega^n]=n\cdot [f_s\Omega^n]$ . Or par définition,  $\rho(h)=[u_1\Omega^n]$ . On a donc:  $[u_1\Omega^n]=\int_0^1([i(\dot{h}_s)\lambda\Omega^n]+[f_s\Omega^n])\,ds=(n+1)\cdot R(h)$ . Q.E.D.

# 5. L'invarient $\mu$

Si M est une variété symplectique de dimension  $2n \ge 4$ , dont la forme symplectique est exacte, alors l'homomorphisme  $R: \operatorname{Ker} S(M) \to \mathbb{R}$  s'étend en un homomorphisme  $\mu: G_{\Omega}(M) \to \mathbb{R}$ . L'objet de ce paragraphe est de construire cet homomorphisme. On a:

PROPOSITION II.5.1. Soit M une variété différentiable de dimension  $2n \ge 4$ , munie d'une forme symplectique exacte. Soit  $\lambda$  une 1-forme telle que  $d\lambda = \Omega$ . Pour tout  $h \in G_{\Omega}(M)$ , on pose:

$$\mu(h) = (-1/(n+1)) \cdot \int_{M} h^* \lambda \wedge \lambda \wedge \Omega^{n-1}.$$

Alors  $\mu(h)$  est indépendant du choix de  $\lambda$ . De plus,  $h \mapsto \mu(h)$  est un homomorphisme, et la restriction de  $\mu$  à Ker S(M) est l'homomorphisme R. (En particulier,  $\mu$  est surjectif).

Remarque. Si  $\alpha$  est une 1-forme fermée sur une variété différentiable de dimension  $2n \ge 4$ , munie d'une forme symplectique exacte et si  $h_t$  est une isotopie symplectique, alors la forme  $f\Omega^n$ , où  $f = \int_0^1 (h_t^* i(\dot{h}_t)\alpha) dt$ , est exacte. En effet:  $i(\dot{h}_t)\alpha \cdot \Omega^n = dW_t$  où  $W_t = n \cdot \alpha i(\dot{h}_t)\Omega \wedge \lambda \wedge \Omega^{n-2}$ , si  $d\lambda = \Omega$ .

*Preuve.* Désignons par  $\omega(h, \lambda)$  la 2n-forme:  $h^*\lambda \wedge \lambda \wedge \Omega^{n-1}$ . C'est une 2n-forme à support compact, car hors du support de h,  $\omega(h, \lambda)$  devient  $\lambda \wedge \lambda \wedge \Omega^{n-1}$  qui est nulle.

Montrons que le nombre réel  $[\omega(h, \lambda)]$  est indépendant du choix de  $\lambda$ . Soit  $\lambda'$  une autre 1-forme telle que  $\Omega = d\lambda'$ . Alors  $\lambda' = \lambda + \alpha$  où  $\alpha$  est une forme fermée. On a:

$$\omega(h,\lambda') = \omega(h,\lambda) + h^*\lambda \wedge \alpha \wedge \Omega^{n-1} + h^*\alpha \wedge \lambda \wedge \Omega^{n-1} + h^*\alpha \wedge \alpha \wedge \Omega^{n-1}.$$

D'après la proposition I.1.3,

$$h^*\alpha = \alpha + df$$

où  $f = \int_0^1 h_t^* i(\dot{h_t}) \alpha dt$  et où  $h_t$  est une isotopie symplectique de h à l'identité. Donc:

$$h^*\lambda \wedge \alpha \wedge \Omega^{n-1} + h^*\alpha \wedge \lambda \wedge \Omega^{n-1} = (h^*\lambda - \lambda) \wedge \alpha \wedge \Omega^{n-1} + df \wedge \lambda \wedge \Omega^{n-1}.$$

On a:

$$(h^*\lambda - \lambda) \wedge \alpha \wedge \Omega^{n-1} = d\Phi_1, \quad \text{où} \quad \Phi_1 = (h^*\lambda - \lambda) \wedge \alpha \wedge \lambda \wedge \Omega^{n-2}$$
  
 $h^*\alpha \wedge \alpha \wedge \Omega^{n-1} = d\Phi_2, \quad \text{où} \quad \Phi_2 = h^*\alpha \wedge \alpha \wedge \lambda \wedge \Omega^{n-2}.$ 

Donc:

$$\omega(h, \lambda') = \omega(h, \lambda) + d(\Phi_1 + \Phi_2) + df \wedge \lambda \wedge \Omega^{n-1}$$
$$= \omega(h, \lambda) + d(\Phi_1 + \Phi_2 + f \cdot \lambda \wedge \Omega^{n-1}) - f \cdot \Omega^n.$$

Mais d'après la remarque ci-dessus,  $f \cdot \Omega^n$  est exacte. Il en résulte donc que  $[\omega(h, \lambda')] = [\omega(h, \lambda)]$ .

La correspondance  $h \mapsto [\omega(h, \lambda)]$  est un homomorphisme: En effet, si  $h_1$  et  $h_2$  sont deux éléments de  $G_{\Omega}(M)$ , alors:

$$\omega(h_1 \cdot h_2, \lambda) = (h_2^*(h_1^*\lambda - \lambda) + (h_2^*\lambda - \lambda)) \wedge \lambda \wedge \Omega^{n-1}$$
$$= ((h_1^*\lambda - \lambda) + dg + (h_2^*\lambda - \lambda)) \wedge \lambda \wedge \Omega^{n-1}$$

où  $g = \int_0^1 (h_2^t)^* i(\dot{h}_2^t)(h_1^*\lambda - \lambda) dt$  et où  $h_2^t$  est une isotopie symplectique de  $h_2$  à l'identité. Donc:

$$\omega(h_1 \cdot h_2, \lambda) = \omega(h_1, \lambda) + \omega(h_2, \lambda) + dg \wedge \lambda \wedge \Omega^{n-1}$$
  
=  $\omega(h_1, \lambda) + \omega(h_2, \lambda) + d(g \cdot \lambda \wedge \Omega^{n-1}) - g \cdot \Omega^n$ .

D'après la remarque ci-dessus,  $g \cdot \Omega^n$  est une forme exacte. Il en résulte donc que  $\mu$  est un homomorphisme de groupes.

Si  $h \in \text{Ker } S(M)$ , alors  $h^*\lambda = \lambda + df(h, \lambda)$ . Dès lors:

$$\omega(h,\lambda) = df(h,\lambda) \wedge \lambda \wedge \Omega^{n-1}$$
  
=  $-f(h,\lambda) \cdot \Omega^n + d(f(h,\lambda) \cdot \lambda \wedge \Omega^{n-1})$ 

c.à.d

$$[\omega(h,\lambda)] = -[f(h,\lambda)\cdot\Omega^n] = -(n+1)\cdot R(h)$$

La proposition est démontrée.

# 6. Ennoncé des résultats

Rappelons qu'un groupe G est dit parfait s'il est égal à son sous-grouppe des commutateurs [G, G], c.à.d. si l'abélianisé G/[G, G] de G, noté  $H_1(G)$  est trivial.

Un groupe G est dit simple s'il ne possède pas d'autres sous-groupes normaux que le groupe G lui-même et le groupe trivial (réduit à l'élément neutre).

Les résultats principaux de ce travail sont les suivants:

THÉORÈME II.6.1. Soit  $(M,\Omega)$  une variété symplectique close et connexe. Alors:

- (i) Le noyau Ker  $\widetilde{S}(M)$  de  $\widetilde{S}: \widetilde{G_{\Omega}(M)} \to H^1(M, \mathbb{R})$  est un groupe parfait égal à  $[\widetilde{G_{\Omega}(M)}, \widetilde{G_{\Omega}(M)}]$ .
- (ii) Le noyau Ker S(M) de  $S: G_{\Omega}(M) \to H^1(M, R)/\Gamma$  est un groupe simple égal à  $[G_{\Omega}(M), G_{\Omega}(M)]$ .

COROLLAIRE. Soit  $(M, \Omega)$  une variété symplectique close et connexe. Alors:

- (i)  $H_1(\widetilde{G_{\Omega}}(M)) \cong H^1(M, \mathbf{R})$
- (ii)  $H_1(G_{\Omega}(M)) = H^1(M, \mathbf{R})/\Gamma$

Remarques. (a) Ce théorème est l'analogue d'un théorème de Thurston pour les difféomorphismes qui préservent une forme-volume [16]. Sa démonstration occupera le prochain chapitre.

(b) comme le montre la proposition II.4.1, le théorème II.6.1 est faux si M est non compacte.

On a le résultat suivant:

THÉORÈME II.6.2. Soit  $(M, \Omega)$  une variété symplectique connexe, non compacte. Alors le noyau Ker R, de l'homomorphisme R, est un groupe simple.

COROLLAIRE. Soit  $(M, \Omega)$  une variété symplectique non compacte, connexe et telle que  $H^1_c(M, \mathbf{R}) = 0$ , alors:

- (i)  $H_1(G_{\Omega}(M)) \cong \mathbf{R}/\Lambda$
- (ii)  $[G_{\Omega}(M), G_{\Omega}(M)]$  est un groupe simple

Remarque. Si en plus des hypothèses du corollaire, la forme  $\Omega$  est exacte, alors  $H_1(G_\Omega(M)) \cong \mathbb{R}$ .

Comme conséquence du théorème II.6.2, on obtient:

THÉORÈME II.6.3. Soit M une variété différentiable de dimension  $2n \ge 4$  munie d'une forme symplectique exacte  $\Omega$ . Alors:

- (i)  $H_1(G_{\Omega}(M)) = H_c^1(M, \mathbf{R}) \oplus \mathbf{R}$
- (ii)  $[G_{\Omega}(M), G_{\Omega}(M)]$  est un groupe simple

Remarque. Rousseau [13] a déduit du théorème II.6.2 la structure du groupe  $G_{\Omega}(M)$  si M est non compacte. En particulier, il retrouve par des méthodes différentes le théorème II.6.3.

# **CHAPITRE III**

# **DEMONSTRATION DES RESULTATS**

# 1. L'invariant R et l'obstruction à l'extension des isotopies symplectiques

Soit M une variété différentiable de dimension n et U un ouvert de M difféomorphe à une boule de  $\mathbb{R}^n$ . On dira que U est une boule de M. Si U et V sont deux boules telles que  $\overline{V} \subsetneq U$ , on dira que  $\overline{U} - V$  est une couronne de dimension n. La couronne de dimension n est homéomorphe à  $S^{n-1} \times I$ .

Soit  $(M,\Omega)$  une variété symplectique compacte et soit U une boule de M. Désignons par  $G_U$  (respectivement  $G_{C\bar{U}}$ ) le sous-groupe de Ker S(M) formé des éléments à support dans U (respectivement hors de  $\bar{U}$ ). Soit  $\tilde{h} \in \tilde{G}_U$  (resp.  $\tilde{h} \in \tilde{G}_{C\bar{U}}$ ) et  $f_t$  le hamiltonnien à support dans U (respectivement dans  $M - \bar{U}$ ) du champ  $\dot{h_t}$ , où  $h_t$  est un chemin différentiable dans Ker S(M) à support dans U (resp. hors de  $\bar{U}$ ) représentant  $\tilde{h}$ . Alors la correspondance:

$$\tilde{h} \mapsto \int_{M \times I} f_t \cdot dt \wedge \Omega^n$$

est un homomorphisme surjectif  $\tilde{R}_U$  (resp.  $\tilde{R}_{C\bar{U}}$ ) de  $\tilde{G}_U$  (resp. de  $\tilde{G}_{C\bar{U}}$ ) dans  $\mathbf{R}$ .

Soient  $\Lambda$ ,  $\Lambda_U$ ,  $\Lambda_{C\bar{U}}$ , les images par  $\tilde{R}$ ,  $\tilde{R}_U$ ,  $\tilde{R}_{C\bar{U}}$ , des sous-groupes  $\pi_1(\text{Ker }S(M))$  (où M est une variété symplectique ouverte),  $\pi_1(G_U)$ ,  $\pi_1(G_{C\bar{U}})$  (où U est une boule dans une variété symplectique compacte) de Ker S(M),  $\tilde{G}_U$ ,  $\tilde{G}_{C\bar{U}}$ , on obtient par passage au quotient des homomorphismes surjectifs

$$R(M)$$
: Ker  $S(M) \rightarrow R/\Lambda$   
 $R_U: G_U \rightarrow R/\Lambda_U$ 

$$R_{C\bar{U}}: G_{C\bar{U}} \to R/\Lambda_{C\bar{U}}$$

Soit  $C = \bar{U} - V$  une couronne dans une variété symplectique compacte. Alors les invariants  $R_U$  et  $R_{C\bar{V}}$  sont bien définis. La proposition suivante montre que la

différence des invariants  $R_{C\bar{V}}$  et  $R_U$  peut s'interpréter comme une obstruction à l'existence d'extensions d'isotopies symplectiques définies sur une partie de la couronne. On met également en évidence le lien qu'il y a entre  $R_{C\bar{V}} - R_U$  et l'invariant S.

PROPOSITION III.1.1. Soient  $C_i = \bar{U}_i - V_i$ , i = 1, 2, deux couronnes dans une variété symplectique compacte  $(M, \Omega)$  se coupant comme dans la figure 1. Soit  $h_i$  une isotopie symplectique de M proche de l'identité à support dans  $C_1$ . L'obstruction  $\mathbb{O}$  à l'existence l'une isotopie symplectique à support dans  $C_1 \cap U_2$  et égal à  $h_i$  sur  $C_1 \cap V_2$  est le nombre réel:

$$\mathcal{O} = (\tilde{R}_{C\bar{V}_1}(\{h\}) - \tilde{R}_{U_1}(\{h\}))/\text{Vol}(M)$$

où  $Vol(M) = \int_M \Omega^n$  et  $\{h\}$  est l'image de  $h_i$  dans le revêtement universel.

Démonstration. Il existe une isotopie  $\hat{h}_t$  non symplectique à support dans  $C_1 \cap U_2$  et qui est égale à  $h_t$  sur  $C_1 \cap V_2$ . Soit  $f_t$  le hamiltonnien à support dans  $U_1$  de  $h_t$  et soit 0 un point de  $V_1$ , on a:

$$\begin{split} \tilde{R}_U(\{h\}) &= \int_{M \times I} f_t \cdot dt \wedge \Omega^n \\ \tilde{R}_{C\bar{V}}(\{h\}) &= \int_{M \times I} (f_t - f_t(0)) \ dt \wedge \Omega^n = R_U(h) - \left(\int_0^1 f_t(0) \ dt\right) \cdot \text{Vol}(M). \end{split}$$

Soit D le 2-cycle relatif hachuré sur la figure 1. Sur  $\partial D$ ,  $\hat{h}_t$  = identité sauf sur le segment  $\gamma = ab$  d'extrémités a et b sur lequel  $\hat{h}_t = h_t$ . D'après la proposition

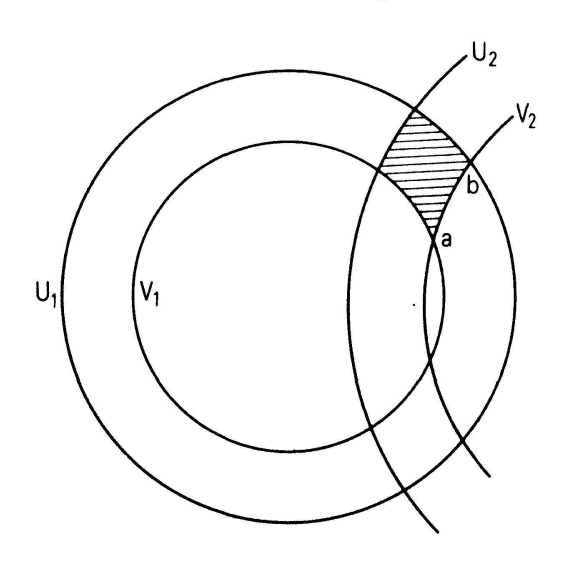


Figure 1

I.1.3 est le théorème II.2.1, on a:

$$\mathcal{O} = \int_{\gamma} \int_{c}^{1} h_{t}^{*}(i(\dot{h_{t}})\Omega) dt = \int_{\gamma} \int_{c}^{1} h_{t}^{*}(df_{t}) dt = \int_{0}^{1} (f_{t}(h_{t}(b)) - f_{t}(h_{t}(a))) dt$$
$$= \int_{0}^{1} (f_{t}(b) - f_{t}(a)) dt = -\int_{0}^{1} f_{t}(0) dt.$$

Donc:  $\tilde{R}_{C\bar{V}}(\{h_t\}) - \tilde{R}_U(\{h\}) = \mathcal{O}$ . Vol (M). cqfd.

# 2. Recouvrement associé à une triangulation

Suivant Thurston [16] nous associons à toute  $C^{\infty}$ -triangulation  $T = (\Delta_i^k)_{i \in I_k}$ ,  $k = 0, 1, 2, \ldots, n$ , d'une variété différentiable M de dimension n, un recouvrement ouvert  $\mathcal{V} = (V_i^k)_{i \in I_k}$ ,  $k = 0, 1, 2, \ldots, n$  par des boules  $V_i^k$  indexées comme les simplexes de la triangulation. Ce recouvrement sera construit par récurence sur les squelettes. Les ouverts  $V_i^0$  sont des boules contenant  $\Delta_i^0$  telles que  $V_i^0 \cap V_j^0 = \emptyset$  si  $i \neq j$ . Supposons construites les boules  $\{V_i^l\}_{j \in I_l}$ ,  $l = 0, 1, \ldots, k-1$ , qui recouvrent le (k-1)-squelette de manière que:

$$\tilde{\Delta}_{i}^{k} = \Delta_{i}^{k} - \bigcup_{(l \in I_{j}, j \leq k-1)} V_{l}^{j}$$

soit un rétrécissement du simplexe  $\Delta_i^k$ . Soit  $\hat{\Delta}_i^k$  un léger épaississement de  $\tilde{\Delta}_i^k$ . On prend pour  $V_i^k$  un  $C^{\infty}$ -voisinage tubulaire de  $\hat{\Delta}_i^k$ . Le voisinage tubulaire  $V_i^k$  sera choisi suffisamment petit pour que  $V_i^k \cap V_j^k = \emptyset$  pour tout k et  $i \neq j$ .

Soit  $\mathcal{U} = (U_i^k)_{i \in I_k}$ ,  $k = 0, \ldots, n$  un recouvrement construit de la même manière que  $\mathcal{V}$ , mais où chaque  $U_i^k$  est un épaississement de  $V_i^k$  de telle sotte que  $\bar{V}_i^k \subset U_i^k$  pour tout k et tout i et que  $U_i^k \cap U_i^k = \emptyset$  pour tout k et  $i \neq j$ .

Nous dirons que les recouvrements  $\mathscr U$  et  $\mathscr V$  sont des recouvrements associés à la triangulation T.

Dans la suite, nous envisagerons de tels recouvrements et nous nous intéresserons aux sous-ensembles de M suivants:

$$\begin{split} &F_i^k = \bar{U}_i^k - \bigcup_{j \le k} V^j \quad \text{où} \quad V^j = \bigcup_{l \in I_j} V_l^j \\ &G_{i,j}^{k,l} = (\bar{U}_i^k \cap \bar{U}_j^l) - \left(\bigcup_{j \le k} V^j\right) = F_i^k \cap \bar{U}_j^l. \end{split}$$

D'après la manière dont sont construits les ouverts  $U_i^k$  et  $V_i^k$  on voit que  $F_i^k$  est homéomorphe à  $\Delta_i^k \times C^{n-k}$ , où  $C^{n-k}$  est la couronne de dimension n-k, qui est

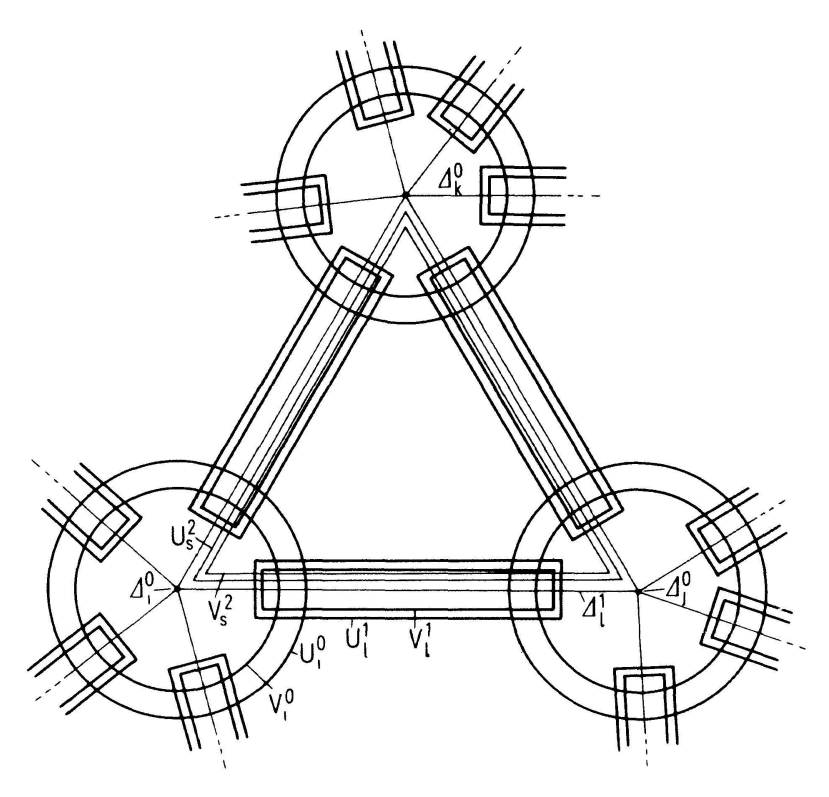


Figure 2

homéomorphe à  $S^{n-k-1} \times I$ . On voit aussi (cfr figure 2) que  $G_{i,j}^{k,l}$  est homéomorphe à  $\Delta^l \times C^{n-k} \times D^{k-1}$ , où  $D^{k-1}$  est le disque de dimension k-1.

Soit  $\mathcal{W} = (W_i)_{i \in I}$  un recouvrement ouvert de M. On choisit une  $C^{\infty}$ -triangulation  $T_{\mathcal{W}} = (\Delta_i^k)_{i \in I_k}$ ,  $k = 0, \ldots, n$  telle que l'étoile de chaque sommet de  $\Delta_i^k$  soit contenue dans l'un des  $W_i$ . On construit comme plus haut les recouvrements  $\mathcal{U}$  et  $\mathcal{V}$  associés à la triangulation  $T_{\mathcal{W}}$  dont les ouverts  $V_i^k$  et  $U_i^k$  sont suffisamment petits pour que chaque  $U_i^k$  soit contenu dans un  $W_i$ .

Ainsi donc pour tout recouvrement W de M, il existe des recouvrements  $\mathcal{U}$  et V associés à la triangulation  $T_{\mathcal{W}}$  qui sont plus fins que le recouvrement donné W.

# 3. Le lemme de fragmentation

Soit M une variété différentiable et h un difféomorphisme de M isotope à l'identité. Il est bien connu que pour tout recouvrement ouvert  $\mathcal{U}$  de M, h peut s'écrire:  $h = h_1, h_2, \ldots, h_m$ , où chaque  $h_i$  est un difféomorphisme isotope à l'identité à support dans un ouvert de  $\mathcal{U}$ . Nous allons montrer que le groupe  $\operatorname{Ker} S(M)$  jouit de cette propriété (Lemme de fragmentation). Nous aurons besoin de la proposition suivante:

PROPOSITION III.3.1. Soit  $(M, \Omega)$  une variété symplectique compacte et soit  $h_t$  une isotopie dans  $\operatorname{Ker} S(M)$ . Si U et U' sont deux boules de M telles que  $\bigcup_{t \in I} h_t(\bar{U}) \subset U'$  il existe des isotopies  $h_t^1$  et  $h_t^2$  dans  $\operatorname{Ker} S(M)$  telles que:

$$\operatorname{supp}(h_t^1) \subset U'; \quad \operatorname{supp}(h_t^2) \subset M - \bar{U}; \quad h_t = h_t^1 \cdot h_t^2$$

$$R_{U'}(h_t^1) = R_{C\bar{U}}(h_t^2) = 0, \quad pour \ tout \ t.$$

Démonstration. Soit  $\lambda$  une fonction  $C^{\infty}$  à support dans U' et égale à 1 sur  $\bigcup_{t\in I} h_t(\bar{U})$  et soit  $f_t$  une famille de fonctions telle que  $i(\dot{h_t})\Omega = df_t$ . Si  $\varphi_t$  est la famille de difféomorphismes symplectiques obtenue on intégrant le gradient symplectique de  $\lambda \cdot f_t$ , alors supp  $(\varphi_t) \subset U'$  et  $\varphi_t = h_t$  sur U. Posons:

$$r_1(t) = R_{II'}(\varphi_t)$$
 et  $r_2(t) = R_{CII}(\varphi_t')$ , où  $\varphi_t' = \varphi_t^{-1} \cdot h_t$ .

Soit  $u_i$  une famille de fonctions  $C^{\infty}$  à support dans U' telles que:

(i) 
$$u_t = -(r_1(t) + r_2(t))/\text{Vol}(M) \text{ sur } U$$
, où  $\text{Vol}(M) = \int_M \Omega^n$ 

(ii) 
$$\int_M u_t \Omega^n = -r_1(t)$$
.

Le groupe à 1-paramètre  $I \ni s \mapsto v_t^s$  engendré par le gradient symplectique de  $u_t$  a son support dans U' - U et l'on a:

$$R_{U'}(\nu_t^1) = -r_1(t)$$

$$R_{CU}(\nu_t^1) = \int_M (u_t + (r_1(t) + r_2(t))/\text{Vol}(M)\Omega^n = r_2(t).$$

Si  $h_t^1 = \varphi_t \cdot \gamma_t^1$  et  $h_t^2 = (\gamma_t^1)^{-1} \cdot \varphi_t^1$ , on a:  $h_t = h_t^1 \cdot h_t^2$ , supp  $(h_t^1) \subset U'$  supp  $(h_t^2) \subset M - U$  et  $R_{U'}(h_t^1) = R_{C\bar{U}}(h_t^2) = 0$  pour tout t. D'où la proposition.

LEMME DE FRAGMENTATION (III.3.2). Soit  $(M, \Omega)$  une variété symplectique compacte et soit  $\mathcal{O} = (O_i)$  un recouvrement ouvert fini de M par des boules  $O_i$ . Toute isotopie  $h_i \in \text{Ker } S(M)$  peut s'écrire comme un produit d'isotopies  $h_i^i \in \text{Ker } S(M)$  à support dans des boules  $O_i$  et telles que  $R_{O_i}(h_i^i) = 0$ .

Nous aurons besoin du résultat intermédiaire suivant:

LEMMA III.3.2'. Soit  $(M, \Omega)$  une variété symplectique compacte de dimension 2n et soit  $\mathcal{U} = (U_i^k)_{i \in I_k}, k = 0, \ldots, 2n$ , un recouvrement associé à une triangulation. Toute isotopie assez petite  $\Psi_t$  dans Ker S(M) est homotope relativement aux extrémités à une isotopie  $\Phi_t$  qui est un produit  $\Phi_t = \varphi_0^t, \ldots, \varphi_{2n}^t$  d'isotopies  $\varphi_k^t$  dans

Ker S(M) à support dans la réunion disjointe  $U^k = \bigcup_{i \in I_k} U_i^k$ . De plus si  $\varphi_{k,i}^t$  est la restriction de  $\varphi_k^t$  à la boule  $U_i^k$ , on a:

- (i)  $R_{U^k}(\varphi_{k}^t) = 0$ , pour tout i et tout k < 2n, et tout  $t \in I$
- (ii)  $\sum_{i \in I_{2n}} R_{U_i^{2n}}(\varphi_{2n,i}^t) = 0$ , pour tout  $t \in I$

*Démonstration*. D'après la proposition III.3.1, il existe des isotopies symplectiques  $h_t$  et  $g_t$  telles que supp  $(h_t) \subset M - V_1^0$ , supp  $(g_t) \subset U_1^0$ ,  $\Psi_t = g_t \cdot h_t$  et  $R_{U_1^0}(g_t) = R_{C\overline{V}_1^0}(h_t) = 0$ .

Le lemme III.3.2' résultera du sous-lemme suivant:

SOUS-LEMME III.3.3. Il existe des isotopies symplectiques  $h_t^{(k)}$ ,  $k = 0, \ldots, 2n$ , dans Ker S(M) telles que:

$$(i) \ h_t^{(0)} = \begin{cases} h_t \text{ sur } V^0 \left( \text{où } V^k = \bigcup_{i \in I_k} V_i^k \right) \\ identit\'e \text{ sur } U_1^0 \\ identit\'e \text{ hors } de \ U^0 \left( \text{où } U^k = \bigcup_{i \in I_k} U_i^k \right) \end{cases}$$

(ii) 
$$h_t^{(k)} = \begin{cases} h_t^{(k-1)} & \text{hors de } U^k \\ h_t & \text{sur } \bigcup_{j \le k} V^j & \text{pour } k \ge 1 \end{cases}$$

On convient que  $h_t^{(-1)} = id_M$ 

- (iii) si  $\psi_{k,i}^t$  est la restriction de  $\psi_k^t = (h_t^{(k-1)})^{-1} \cdot h_t^{(k)}$  à  $U_i^k$ , alors:
- (a)  $R_{U_i^k}(\psi_{k,i}^t) = 0$  pour tout i, k < 2n et pour tout  $t \in I$
- (b)  $\sum_{j \in I_{2n}} R_{U_j^{2n}}(\psi_{2n,j}^t) = 0$ , pour tout  $t \in I$ .

Le lemme III.3.2' en résultera immédiatement. En effet:  $h_t^{(2n)} = h_t$ ,  $h_t^{(-1)} = \mathrm{id}_M$ . Si on pose  $\varphi_0^t = g_t \cdot \psi_0^t$  et  $\varphi_k^t = \psi_k^t$  pour k > 0, on a:  $\Psi_t = \varphi_0^t, \ldots, \varphi_{2n}^t$  et chacun des  $\varphi_k^t$  vérifie les conditions du lemme.

Démonstration du sous-lemme. Les isotopies  $h_t^{(k)}$  seront construites par récurence. Pour pouvoir mener à bien cette construction, nous imposerons encore la condition suivante:

(iv)<sub>(k)</sub> Etant donné un voisinage  $\mathcal{W}^{(k)}$  de id<sub>M</sub> dans  $C^{\infty}(I, \operatorname{Diff}^{\infty}(M))$ , il existe un voisinage  $\mathcal{W}^{(k-1)}$  de id<sub>M</sub> tel que si  $h_t^{(k-1)}$  et  $h_t$  sont dans  $\mathcal{W}^{(k-1)}$ , alors  $h_t^{(k)} \in \mathcal{W}^{(k)}$ .

Les voisinages  $W^{(k)}$  seront choisis suffisamment petits pour que si  $V_i^{*k} = \bigcup_{t \in I} h_t(V_i^k)$  et si  $U_i^{*k}(\pm) = M - (\bigcup_{t \in I} (h_t^{(k-1)})^{\pm 1} (M - U_i^k))$ , on ait:

(v) 
$$V_i^{*k} \subset U_i^{*k}(\pm)$$
. On posera:  $U_i^{*k} = U_i^{*k}(+)$  et  $U_i^{'k} = U_i^{*k}(-)$ 

Construction de h<sub>t</sub><sup>(0)</sup>

Soit  $r_t$  une isotopie. On considère les 1-formes suivantes:

$$\alpha(r_t) = \int_0^t r_s^*(i(\dot{r}_s)\Omega ds \quad \text{et} \quad \beta(r_t) = \int_0^t i(\dot{r}_s)\Omega ds.$$

Puisque  $h_t$  est une isotopie dans Ker S(M), la forme  $\beta(h_t)$  est exacte d'après la proposition II.3.3. Il en est de même de la forme  $\alpha(h_t)$  qui lui est cohomologue. Soit  $f_t$  l'unique fonction qui s'annulle sur un voisinage  $\beta$  de  $\Delta_1^0 \subset V^0$  et telle que  $\alpha(h_t) = df_t$  et soit  $g_t$  la famille de fonctions à support hors de B telle que  $i(\dot{h_t})\Omega = dg_t$ . On a alors:

$$f_t(x) = \int_0^t g_s(h_s(x)) ds$$

pour tout  $x \in M$ . Soit  $U_i^0$  la boule contenant  $A_i = \Delta_i^0$  et  $K_i$  une courbe dans  $U_i^0 - U_i^1$  joignant  $A_i$  à un point  $P_i$  de  $\partial \bar{U}_i^0$  (voir figure 3).

Nous nous proposons de construire un  $h_t^{(0)}$  qui vérifie, en plus des conditions énumérées plus haut, la condition suivante, dont l'intérêt n'apparaitra que ultérieurement pour pouvoir construire  $h_t^{(1)}$ :

(vi) 
$$\int_{K_i} \alpha(h_t^{(0)}) = -f_t(A_i)$$
 pour tout  $i$ 

Il existe un voisinage  $W^{(-1)}$  de  $\mathrm{id}_M$  dans  $C^\infty(I,\mathrm{Diff}^\infty(M))$  dépendant des boules  $U^0_i$  et  $V^0_i$  tel que si  $h_i \in W^{(-1)}$ , alors  $\bar{V}^{*0}_i \subset U^0_i$ . On supposera donc que  $h_i \in W^{(-1)}$ . Soit  $\lambda$  une fonction  $C^\infty$ , à support dans  $U^0$ , nulle sur  $U^0$  et égale à 1 sur  $\bigcup_{j \neq 1} V^{*0}_j$  et soit  $g^t_j$  la restriction à  $U^0_j$  de  $\lambda \cdot g_t$ . Pour tout  $j \in I_0$ , on choisit une fonction  $C^\infty$   $r^t_j$  à support dans  $U^0_j - V^{*0}_j$  telle que  $r^t_1 = 0$  et si  $j \neq 1$ , on ait:

$$\int_{M} r_{j}^{t} \Omega^{n} = -\int_{M} g_{j}^{t} \Omega^{n}.$$

Posons:  $\tilde{g}_{j}^{t} = r_{j}^{t} + g_{j}^{t}$ . Si  $X_{t}$  est le gradient symplectique de  $\tilde{g}_{t} = \sum_{j} g_{j}^{t}$ , alors la famille

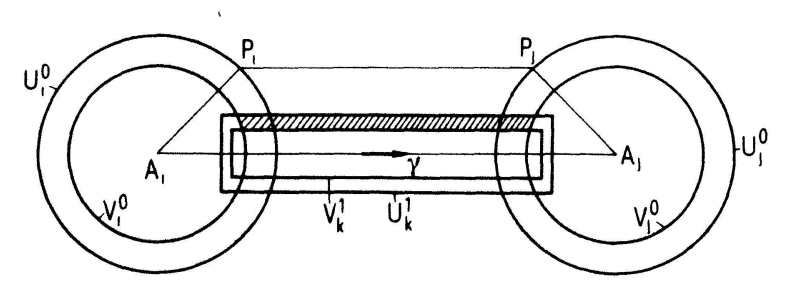


Figure 3

de difféomorphismes symplectiques  $h_t^{(0)}$  obtenue en intégrant  $X_t$  vérifie les conditions (i), (iii) et (iv)<sub>(0)</sub>. Comme:

$$\alpha(h_t^{(0)}) = d\left(\int_0^t (\tilde{g}_s \circ h_s^{(0)}) ds\right).$$

On aura:

$$\int_{K_t} \alpha(h_t^{(0)}) = -\int_0^t \tilde{g}_s(h_s^{(0)}(A_i)) ds.$$

Le point  $A_i$  étant dans  $V_i^0$ , on a:  $h_0^{(0)}(A_i) = h_s(A_i)$  et comme  $h_s$  est proche de l'identité,  $h_s(A_i)$  est dans  $V_i^0$  pour tout s. Mais sur  $V_i^0$ ,  $\tilde{g}_t = g_i^t = g_t$ . Il en résulte que:

$$\int_{K_{t}} \alpha(h_{t}^{(0)}) = -\int_{0}^{t} g_{s}(h_{s}(A_{i})) ds = -f_{t}(A_{i}).$$

La condition (vi) est donc aussi vérifiée.

Construction de  $h_t^{(k)}$  pour  $k \ge 1$ 

On suppose construites les isotopies  $h_t^{(j)}$  pour  $j \le k-1$  avec toutes les conditions requises.

Soit  $(\lambda_1, \lambda_2)$  une partition de l'unité subordonnée au recouvrement  $\{(M - \bar{V}^{*k}), U^{*k}\}$  de M. Le champ de vecteurs  $X = \lambda_1 \cdot \dot{h}_t^{(k-1)} + \lambda_2 \cdot \dot{h}_t$  sur  $M \times I$  définit une isotopie  $H_t^k$  de M qui coincide avec  $h_t$  sur  $\bigcup_{j \le k} V^j$  et avec  $h_t^{(k-1)}$  hors de  $U^k$ . Cette isotopie est donc symplectique partout sauf sur  $U^k - \bigcup_{j \le k} V^j = \bigcup_{i \in I_K} F_i^k$ .

D'après le théorème II.2.1, l'obstruction  $\mathcal{O}_k$  à étendre symplectiquement  $H_t^k$  est:

$$\mathcal{O}_k = \int_c \Omega_t^k - \Omega \quad \text{où} \quad \Omega_t^k = (H_t^k)^* \Omega,$$

c parcourt l'espace  $H_2(M, M - F_i^k)$ , pour tout i et k.

Par construction du recouvrement associé à une triangulation,  $F_i^k = \Delta_i^k \times C^{n-k}$  (voir le paragraphe 4). Un petit calcul montre que:  $H_2(M, M - F_i^k) = H_2(F_i^k, \partial F_i^k)$  est isomorphe à R si k = 1 et est trivial si  $k \neq 1$ . Il en résulte donc que l'obstruction  $\mathcal{O}_k$  est nulle si  $k \neq 1$ .

Occupons-nous du cas k = 1. D'après la proposition I.1.3,  $\Omega_t^1 - \Omega = d\alpha(H_t^1)$  et l'on a:  $\mathcal{O}_1 = \int_{\partial C} \alpha(H_t^1)$ , où c est un générateur de  $H_2(F_i, \partial F_i)$ .

Soit  $\nu$  un 1-simplexe orienté de la triangulation partant d'un O-simplexe  $A_i$  et aboutissant à un autre O-simplexe  $A_j$ . Sur la figure 3, nous avons hachuré un générateur c de  $H_2(F_i, \partial F_i)$ . Soit c' une 2-chaine contenant c dont le bord est constitué par  $\nu$ ,  $K_i$ ,  $K_j$  ainsi que par une courbe L située hors de  $U^1$  joignant les extrémités  $P_i$  et  $P_j$  de  $K_i$  et  $K_j$  (voir figure 2). Comme sur c'-c, la forme  $\Omega^1_t-\Omega$  est nulle, on a que

$$\int_{\Omega} \Omega_{t}^{1} - \Omega = \int_{\Omega_{t}^{'}} \Omega_{t}^{1} - \Omega.$$

En tenant compte que sur  $\gamma$ ,  $H_t^1$  coincide avec  $h_t$ , qu'au voisinage de  $K_i$  et  $K_j$ ,  $H_t^1$  n'est rien d'autre que  $h_t^{(0)}$  et que la forme  $\alpha(H_t^1)$  est identiquement nulle sur L, en utilisant enfin la condition (vi), on a:

$$\mathcal{O}_1 = \int_{\partial c'} \alpha(H_t^1) = f_t(A_i) - f_t(A_i) + \int_{K_t} \alpha(h_t^{(0)}) - \int_{K_t} \alpha(h_t^{(0)}) = 0.$$

On voit donc que il n'y a aucune obstruction à étendre symplectiquement  $H_t^1$ . Pour  $k \ge 1$ , il existe donc des isotopies symplectiques  $h_t^{\prime(k)}$  qui coincident avec  $H_t^k$  hors de  $\bigcup F_i^k$ . Ces isotopies satisfont à la condition (ii). Nous allons les modifier pour qu'elles satisfassent aussi la condition (iii), ceci sans tuer la condition (ii).

Pour tout voisinage  $W'^k$ ,  $k \ge 1$ , de l'identité dans  $C^{\infty}(I, \operatorname{Diff}^{\infty}(M))$ , il existe un voisinage  $W^{(k-1)}$  tel que si  $h_t^{(k-1)}$  et  $h_t$  sont dans  $W^{(k-1)}$ , alors  $h_t'^{(k)} \in W'k$ . Ceci résulte de la continuité des opérations avec lesquelles on a fabriqué  $h_t'$  à partir de  $h_t^{(k-1)}$  et de  $h_t$ , et du théorème II.2.1.

Le nombre  $R_{U_i^k}((h_t^{(k-1)})^{-1} \cdot h_t'^{(k)}|_{U_i^k}) = a_{i,k}^t$  est proche de zéro. Soit  $s_t^k$  une famille de fonctions proches de la fonction nulle, à support dans  $(U^k - \bigcup_{j \le k} V^{*j})$  pour  $k \le 2n-1$ , telle que si  $s_t^{k,i}$  est le restriction de  $s_t^k$  à  $U_i^k$ , on ait:

$$\int_{\mathcal{M}} s_t^{k,i} \cdot \Omega^n = -a_{k,i}^t.$$

Si  $u \mapsto r_t^u$  est le groupe à 1-paramètre engendré par le gradient symplectique de  $s_t^k$ , on prend pour  $h_t^{(k)}$  l'isotopie  $r_t \cdot h_t^{\prime(k)}$ . On a alors:

$$R_{U_i^k}((h_t^{(k-1)})^{-1} \cdot h_t^{(k)}|_{U_i^k}) = 0$$
 pour tout  $i$  et tout  $k < 2n$ .

Soit  $B_0$  une petite boule contenue dans  $V_1^0$  telle que  $B_0 \cap U_i^k = \emptyset$  si  $U_i^k \neq U_1^0$ . Le support de l'isotopie  $\psi_i^k = (h_i^{(k-1)})^{-1} \cdot h_i^{(k)}$  ne rencontre pas  $B_0$ . Par conséquent:

$$R_{U_i^k}(\psi_i^k|_{U_i^k}) = R_{CB_0}(\psi_i^k|_{U_i^k}) = 0$$
, pour  $k < 2n$ .

Comme  $h_t = \psi_t^0, \ldots, \psi_t^{2n}$  et que  $R_{CB_0}(h_t) = 0$ , il en résulte que:

$$0 = R_{CB_0}(h_t) = \sum_{k=0}^{2n} R_{CB_0}(\psi_t^k | U_i^k) = \sum_{i \in I_{2n}} R_{CB_0}(\psi_t^{2n} |_{U_i^{2n}})$$
$$= \sum_{i \in I_{2n}} R_{U_i^{2n}}(\psi_t^{2n} |_{U_i^{2n}}).$$

La condition (iii) est donc aussi vérifiée. Remarquons que la construction qu'on vient de faire n'affecte pas la validité de la condition (ii). De plus pour tout voisinage  $W^k$  de l'identité dans  $C^{\infty}(I, \operatorname{Diff}^{\infty}(M))$ , il existe un voisinage  $W'^{(k)}$  tel que si  $h_t^{(k)} \in W'^{(k)}$ , alors  $h_t^{(k)} \in W^{(k)}$ . Il suffit pour cela de choisir convenablement la famille de fonctions  $s_t^k$  ci-dessus.

L'isotopie  $h_t^{(k)}$  ainsi construite vérifie toutes les conditions exigées dans le lemme.

La grandeur des voisinages successifs à considérer est dictée par la condition (v). Pour que la construction puisse se poursuivre jusqu'au bout, il faut exiger que  $h_t \in \mathcal{W} = \bigcap_{i=-1}^{2n} \mathcal{W}^{(k)}$ : ce qu'on peut toujours supposer en subdivisant suffisamment l'isotopie  $h_t$ . Le sous-lemme est démontré.

Démonstration du lemme III.3.2. Soit  $\mathcal{U} = (U_i^k)$  un recouvrement associé à une triangulation  $T_{\theta}$  (cfr & 5).

Nous pouvons supposer que l'isotopie  $h_t \in \text{Ker } S(M)$  est proche de l'identité, car on peut toujours écrire une isotopie comme un produit d'isotopies proches de l'identité.

D'après le lemme II.6.2',  $h_t$  s'écrit:

$$h_t = \psi_0^t \cdot \psi_1^t, \ldots, \psi_{2n}^t.$$

Soit  $\psi_{k,j}^t$  l'isotopie égale à  $\psi_k^t$  sur  $U_j^k$  et à l'identité en dehors de  $U_j^k$ . On a montré que  $R_{U_j^k}(\psi_{k,j}^t) = 0$ , pour tout j et tout k < 2n, et que  $\sum R_{U_j^{2n}}(\psi_{2n,j}^t) = 0$ .

Pour tout  $i \in I_{2n}$ , soit  $x_i$  le barycentre de  $\Delta_i^{2n}$ , et  $a_{ik}$  le barycentre de la face commune  $\Delta_{ik}^{2n-1}$  aux simplexes  $\Delta_i^{2n}$  et  $\Delta_k^{2n}$ . Soit G le graphe dont les 0-simplexes sont les points  $x_i$  et  $a_{ik}$  et dont les 1-simplexes sont les 1-simplexes de sommets  $x_i$  et  $a_{ik}$ . Soit T l'arbre obtenue en supprimant dans  $G \cap (M - V^0)$  certaines arrêtes. On considère des boules  $B_{ik}$  centrées en  $a_{ik}$  telles que:  $B_{ik} \cap U_j^{2n} = \emptyset$  pour tout  $j \in I_{2n}$ ;  $B_{ik} \cup U_i^{2n} \subset 0_r$ ;  $B_{ik} \cup U_k^{2n} \subset O_s$ . Soit  $\alpha_i^t \in \text{Ker } S(M)$  a support dans  $B_{ik}$  tel que  $R_{B_{ik}}(\alpha_i^t) = -R_{U_i^{2n}}(\psi_{2n,i}^t)$ . Alors  $\psi_{2n,i}^t \cdot \psi_{2n,k}^t = \tilde{\psi}_{2n,i}^t \cdot \hat{\psi}_{2n,k}^t$ , avec:  $\tilde{\psi}_{2n,i}^t = \psi_{2n,i}^t \cdot \alpha_i^t$  et  $\hat{\psi}_{2n,k}^t = (\alpha_i^t)^{-1} \psi_{2n,k}^t$ , et supp  $(\tilde{\psi}_{2n,i}^t) \subset O_r$ ,  $R_{O_r}(\tilde{\psi}_{2n,i}^t) = 0$ . On a donc chassé l'invariant R de la boule  $O_r$  (en l'augmentant dans la boule voisine  $O_s$ ). En procédant de proche en proche, par ordre à partir des branches du sommet jusqu'au pied de

l'arbre T, on accumule tous les invariants R au pied de l'arbre (= dernière boule). Comme la somme des invariants R était nulle (condition (iii) b du lemme III.3.2'), l'invariant R est donc aussi nulle dans la dernière boule. Le lemme est démontré.

# 4. L'ensemble simplicial $B\bar{G}$

Pour tout groupe topologique G, on dénote par  $G^{\Delta^n}$  l'ensemble des applications continues du simplexe standard  $\Delta^n$  dans G. L'application  $a: G \times G^{\Delta^n} \to G^{\Delta^n}$  définie par:

$$a(g,c) = g \cdot c$$
 où  $(g \cdot c)(x) = g \cdot c(x)$ , pour  $x \in \Delta^n$ ,  $g \in G$ ,  $c \in G^{\Delta^n}$ 

est une action de G sur  $G^{\Delta^n}$ . Soit  $B\bar{G}(n)$  le quotient  $G^{\Delta^n}/G$  de  $G^{\Delta^n}$  modulo cette action. On identifie  $B\bar{G}(n)$  avec l'ensemble  $(G, e)^{(\Delta^n, 0)}$  des applications continues de  $\Delta^n$  dans G, qui appliquent le premier sommet "0" de  $\Delta^n$  sur l'élément neutre e de G.

La réunion des  $B\bar{G}(n)$  est un ensemble simplicial  $B\bar{G}$ . En effet, on a des opérateurs-face  $\partial_i: B\bar{G}(n) \to B\bar{G}(n-1)$  et des opérateurs-dégénérescence  $s_i: B\bar{G}(n) \to B\bar{G}(n+1)$  définis comme suit: pour tout  $c \in BG(m)$  et tout  $x_m \in \Delta^m$  de coordonnées barycentriques  $(t_0, t_1, \ldots, t_m)$ , alors:

$$(\partial_0 c)(t_0, \dots, t_{n-1}) = c(0, t_0, \dots, t_{n-1}) \cdot c(0, 1, 0, 0, \dots, 0)^{-1}$$

$$(\partial_i c)(t_0, \dots, t_{n-1}) = c(t_0, \dots, t_{i-1}, 0, t_i, t_{i+1}, \dots, t_{n-1}) \quad \text{pour} \quad 1 \le i \le n-1$$

$$(s_i c)(t_0, \dots, t_{n+1}) = c(t_0, \dots, t_{i-1}, t_i + t_{i+1}, t_{i+1}, \dots, t_{n+1}) \quad \text{pour} \quad 0 \le i \le n+1.$$

Ces opérateurs satisfont aux relations habituelles entre opérateurs-face et opérateurs-dégénérescence dans les ensembles simpliciaux.

L'ensemble simplicial  $B\bar{G}$  ne possède qu'un seul 0-simplexe: c'est l'unique application qui associe au point  $\Delta^0$  l'élément neutre e.

De plus  $B\bar{G}$  est un complexe de Kan, c.à.d. qu'il jouit de la propriété d'extension suivante: soient  $c_0, \ldots, c_{k-1}, c_{k+1}, \ldots, c_m$  des m-simplexes tels que  $\partial_i c_j = \partial_{j-1} c_i$  pour i < j,  $i \neq k$ , m > 0, alors il existe un (m+1)-simplexe c tel que  $\partial_i c = c_i$ , pour  $i \neq k$ .

On définit sur  $B\bar{G}(1)$  la relation d'équivalence suivante: soient  $\tau_0$  et  $\tau_1$  deux éléments de  $B\bar{G}(1)$ ,  $\tau_0 \sim \tau_1$  si et seulement si il existe un 2-simplexe  $c \in B\bar{G}(2)$  tel que  $\partial_0 c = \tau_0$ ,  $\partial_1 c = \tau_1$  et  $\partial_2 c$  est le 1-simplexe dégénéré (c.a.d. l'application constante de 1 dans G qui applique 1 sur l'élément neutre e). Les classes d'équivalence  $R\bar{G}(1)/\sim$  modulo cette relation forment un groupe. Par définition:  $\pi_1(B\bar{G}) = B\bar{G}(1)/\sim$ .

Pour tout  $c \in B\bar{G}(1)$ , la classe d'homotopie relativement aux extrémités du chemin c(t),  $t \in 1$ , est élément du revêtement universel  $\tilde{G}$  de G. De plus deux éléments  $c_0$  et  $c_1$  de  $B\bar{G}(1)$  définissent le même élément dans  $\tilde{G}$  si et seulement si  $c_0 \sim c_1$ . Il en résulte:

$$\pi_1(B\bar{G}) = \tilde{G}$$
 et  $H_1(B\bar{G}, Z) = H_1(\pi_1(B\bar{G})) = H_1(\tilde{G})$ .

Soit  $\tau_t$  un 1-simplexe. Comme  $B\bar{G}$  n'a qu'un zéro-simplexe,  $\tau_t$  est un cycle. Ce cycle est homologue à zéro si et seulement si il existe des 1-simplexes  $a_i(t)$ ,  $b_i(t)$  tels que  $\tau_t$  soit homotope relativement aux extrémités au chemin:

$$t \mapsto [a_1(t), b_1(t)] \cdot \cdot \cdot [a_r(t), b_r(t)]$$

où

$$[a_i(t), b_i(t)] = a_i(t)b_i(t)(a_i(t))^{-1} \cdot (b_i(t))^{-1}.$$

En particulier, on doit avoir (si  $\tau_t$  est homologue à zéro):

$$\tau_1 = [a_1(1), b_1(1)] \cdot \cdot \cdot [a_r(1), b_r(1)].$$

Soient  $\sigma$ ,  $\tau \in B\bar{G}(1)$ . Désignons par  $I_{\sigma(1)}\tau$  le conjugé de  $\tau$  par  $\sigma(1)$ : c'est le 1-simplexe  $t \mapsto \sigma(1)\tau(t)(\sigma(1))^{-1}$  On a:

PROPOSITION III.4.1. Pour tous 1-simplexes  $\sigma$ ,  $\tau \in B\bar{G}(1)$ , les 1-simplexes  $\tau$  et  $I_{\sigma(1)}\tau$  sont homologues.

Démonstration. Les 1-simplexes  $c_1(t) = [\sigma(1), \tau(t)]$  et  $c_2(t) = [\sigma(t), \tau(t)]$  sont homotopes par l'homotopie  $H_{s,t} = [\sigma(s+t-s\cdot t), \tau(t)]$ . Comme  $c_2(t)$  est homologue à zéro, il en est de même de  $c_1(t)$ : ce qui signifie que  $\tau(t)$  est homologue à  $\sigma(1)\tau(t)(\sigma(1))^{-1}$ . cqfd

Supposons maintenant que G soit un groupe de difféomorphismes d'une variété différentiable M. Pour tout n, un élément  $c \in B\bar{G}(n)$  définit un feuilletage sur  $\Delta^n \times M$  transverse aux fibres de la projection  $\Delta^n \times M \to \Delta^n$ . La feuille passant par  $(t, x) \in \Delta^n \times M$  est l'ensemble  $\bigcup_{t \in \Delta^n} c_t(x)$ . Le support d'un tel n-simplexe est défini comme étant le plus petit fermé  $K \subseteq M$  tel que le feuilletage induit sur  $\Delta^n \times (M-K)$  par c soit horizontal, c.à.d. que  $c_t(x) = x$  pour tout  $t \in I$  et tout  $x \in M-K$ .

Soit  $(M, \Omega)$  une variété symplectique. Nous allons définir un sous-complexe  $\overline{BKer\ S(M)}$  de  $\overline{BG_{\Omega}(M)}$  comme suit: un *n*-simplexe *c* de  $\overline{BKer\ S(M)}$  est une

application différentiable de  $\Delta^n$  dans  $G_{\Omega}(M)$  telle pour tout chemin  $\gamma: I \to \Delta^n$ , si  $\bar{c}(t)$  est le chemin  $c \circ \gamma: I \to G_{\Omega}(M)$ , alors la forme  $i(\dot{\bar{c}}_t)\Omega$  est exacte pour tout t, ou, ce qui revient au même, la classe de  $\bar{c}_t$  dans  $G_{\Omega}(M)$  est dans Ker S(M).

Dans la suite U désignera une boule fixe qui est l'image dans M d'une boule de  $R^{2n}$  par une carte canonique. Soit  $G_U$  le sous-groupe de  $G_\Omega(M)$  formé des éléments de  $G_\Omega(M)$  à support dans U. Nous définissons un sous-complexe  $\overline{BKer}\,R_U$  de  $B\overline{G}_U$  comme suit: un n-simplexe de  $\overline{BKer}\,R_U$  est une application différentiable c de  $\Delta^n$  dans  $G_U$  telle que pour tout chemin différentiable  $\gamma\colon I\to \Delta^n$ , si  $\overline{c}(t)$  est le chemin  $c\circ\gamma(t)$ , alors  $\int_M f_t\Omega^n=0$ , où  $f_t$  est l'unique hamiltonnien à support dans U du champ de vecteurs  $\dot{\overline{c}}_t$ , c.à.d. que la classe de  $\overline{c}_t$  dans  $G_U$  est dans  $G_U$  est dans  $G_U$  est  $G_U$ .

# 5. Le groupe $H_1(\overline{\mathrm{BKer}\,S(M)},Z)$

On a une application naturelle de  $\overline{\operatorname{BKer} R_U}$  dans  $\overline{\operatorname{BKer} S(M)}$ . Le but de ce paragraphe est d'étudier l'homomorphisme induit sur le 1er groupe d'homologie entière. On a:

THÉORÈME III.5.1. Soit  $(M, \Omega)$  une variété symplectique close et connexe. L'homomorphisme  $\Phi: H_1(BKer R_U, Z) \to H_1(BKer S(M), Z)$  induit par la flèche  $\overline{BKer R_U} \to \overline{BKer S(M)}$ , est un isomorphisme.

La démonstration de ce théorème utilise les lemmes suivants:

LEMME III.5.2. Il existe un recouvrement fini W' de M par des boules  $W_k$  telles que si  $W_i \cap W_j \neq \emptyset$ , alors  $W_i \cap W_j$  est une boule. De plus, il existe pour tout i et pour tout j des isotopies  $\varphi_t^i \in \text{Ker } S(M)$  et  $H_t^{ij} \in G_U$  telles que:

$$\varphi_1^i(W_i) \subset U, \ H_1^{ij}(\varphi_1^i(W_i \cap W_j)) = \varphi_1^i(W_i \cap W_j).$$

Dans la suite, nous considérérons un recouvrement  $\mathscr{U} = (U_i^k)$  associé à une triangulation  $T_{\mathscr{W}'}$ , tel que si  $U_1$  et  $U_2$  sont des ouverts de  $\mathscr{U}$  avec  $U_1 \cap U_2 \neq \emptyset$ , alors  $U_1 \cup U_2$  soit contenu dans une boule de  $\mathscr{W}'$ . Nous envisagerons aussi le recouvrement  $\mathscr{W} = \mathscr{W}' \cup \{U\}$ .

LEMME III.5.3. Toute 1-chaine dans  $\overline{BKer} R_U$  qui borde une 2-chaine c de  $\overline{BKer} S(M)$  borde alors une 2-chaine  $\tilde{c} = \sum_k \tilde{c}_k$  dont les 2-simplexes  $\tilde{c}_k$  ont leurs supports dans les ouverts du recouvrement W.

LEMME III.5.4. L'homomorphisme  $H_1(\overline{BKer} R_U, Z) \rightarrow H_1(\overline{BG_U}, Z)$  est injectif.

## Démonstration du théorème III.5.1

# (a) $\Phi$ est injectif

Soit a un élément de  $H_1(B\overline{\ker}R_U, Z)$  tel que  $\Phi(a) = 0$ . Si  $\tau = \sum \tau_k$  est une 1-chaine représentant a, alors  $\tau$  borde une 2-chaine  $c = \sum_i c_i$  dans  $B\overline{\ker}S(M)$ . D'après le lemme III.5.3,  $\tau$  borde aussi une 2-chaine  $\tilde{c} = \sum_k \tilde{c}_k$  dans  $B\overline{\ker}S(M)$  telle que le support de chaque  $c_k$  soit dans un ouvert de W. Chaque 1-simplexe  $\partial_j \tilde{c}_k$  a donc son support dans une boule de W que nous dénotons par  $W^{jk}$ . Soit  $\varphi_t^{jk}$  l'isotopie dans  $\ker S(M)$  telle que  $\varphi_1^{jk}(W^{jk}) \subset U$ . On convient que si  $W^{jk} = U$ , alors  $\varphi_t^{jk} = \mathrm{id}_M$ . On a:

$$\tau = \sum \hat{\tau}_k, \quad \text{où} \quad \hat{\tau}_k = \sum_{j=0}^2 (-1)^j I_{\varphi_i^k} (\partial_j \tilde{c}_k).$$

Si  $\psi_t^k$  est une isotopie dans  $\operatorname{Ker} S(M)$  telle que  $\psi_1^k(\operatorname{supp}(c_k)) \subset U$ , alors:  $\partial(I_{\psi_1^k}(\tilde{c}_k))$  est homologue à  $\hat{\tau}_k$ . En effet:

$$\partial(I_{\psi_1^k}(\tilde{c}_k)) = \sum_{j=0}^2 (-1)^j \, \partial_j I_{\psi_1^k}(\tilde{c}_k) = \sum_{j=0}^2 (-1)^j I_{\psi_1^k}(\partial_j \tilde{c}_k).$$

D'après le lemme III.5.2, il existe une isotopie  $S_t$  dans  $G_U$  telle que:

$$S_1(\psi_1^k(\operatorname{supp}(\tilde{c}_k)\cap W^{jk})) = \varphi_1^{jk}(\operatorname{supp}(\tilde{c}_k)\cap W^{jk}).$$

Il en résulte que:

$$I_{S_1}(I_{\psi_1^k}(\partial_j \tilde{c}_k) = I_{\varphi_1^{jk}}(\partial_j \tilde{c}_k).$$

D'après la proposition III.4.1, les 1-simplexes  $I_{\psi_1^k}(\partial_j \tilde{c}_k)$  et  $I_{\psi_1^k}(\partial_j \tilde{c}_k)$  sont homologues. Ceci entraine que  $\tau$  est homologue à  $\partial(\sum_k I_{\psi_1^k}(\tilde{c}_k))$ . Donc  $\tau$  est homologue à zéro dans  $H_1(B\overline{G_U}, Z)$ . D'après le lemme III.5.4,  $\tau$  est aussi homologue à zéro dans  $H_1(B\overline{Ker}\,R_U, Z)$ . D'où l'injectivité.

## (b) $\Phi$ est surjectif

Soit [h] dans  $H_1(\overline{\mathrm{BKer}\,S(M)}, Z)$ . D'après le lemme de fragmentation, [h] peut être représenté par une isotopie  $h_t$  qui est un produit  $h_t = \prod_{i,k} h_t^{ik}$  où  $h_t^{ik} \in \mathrm{Ker}\,S(M)$ , supp  $(h_t^{ik}) \subset U_i^k$  et  $\sum_{i,k} R_{U_i^k}(h_t^{ik}) = 0$ .

D'après le lemme II.8.2, il existe pour tout i et k des isotopies  $\varphi_t^{ik}$  dans  $\operatorname{Ker} S(M)$  telles que  $\varphi_1^{ik}(U_i^k) \subset U$ . Le conjugé  $I_{\varphi_1^{ik}}(h_t^{ik})$  du 1-simplexe  $h_t^{ik}$  par  $\varphi_1^{ik}$  a

son support dans U et il est homologue à  $h_t^{ik}$  d'après la proposition III.4.1. Il est clair alors que la classe d'homologie  $[\hat{h}]$  du 1-simplexe  $\prod_{i,k} I_{\varphi_i^{ik}}(h_t^{ik})$  appartient à  $H_1(B\overline{\operatorname{Ker} R_U}, Z)$  et que  $\Phi([\hat{h}]) = [h]$ . D'où la sur jectivité.

Démonstration du lemme III.5.2. Commençons par réduire le groupe structural du fibré des repères sur M au groupe  $U(n) \subset Sp(n)$ : c.à.d. que nous considérons une métrique hermitienne compatible avec la structure symplectique.

Soit y le centre de la boule U. D'après la remarque II.3.4, il existe pour tout point  $x \in M$ , une isotopie symplectique  $\varphi_t^x \in \text{Ker } S(M)$  telle que  $\varphi_1^x(x) = y$ . On peut supposer que la dérivée en x de  $\varphi_1^x$ ,  $d_x(\varphi_1^x)$ , envoie la métrique hermitienne de  $T_xM$  sur celle de  $T_yM$ .

Pour tout  $x \in M$ , on considère une boule ouverte géodésique  $W_x$  de centre x et de rayon  $r(W_x) = \delta_x$  suffisamment petit pour que  $\varphi_1^x(W_x) \subset U$ . On sait (voir par ex. [9] p. 166-167) que toute intersection non vide  $W_x \cap W_{x'}$  est difféomorphe à une boule.

Soit  $\alpha: U \to \mathbb{R}^{2n}$  un système de coordonnées canoniques tel que  $d_y\alpha: T_yM \to \mathbb{R}^{2n}$  soit un repère hermitien. Alors pour tout  $x \in M$ ,  $d_x(\alpha \circ \varphi_1^x): T_xM \to \mathbb{R}^{2n}$  est un repère hermitien. Si x' est un point proche de x, alors  $d_{x'}(\alpha \cdot \varphi_1^x): T_{x'}M \to \mathbb{R}^{2n}$  est proche d'une application hermitienne. Ainsi si les boules  $W_x$  sont suffisamment petites, tout point  $z \in W_x \cap W_{x'}$  est à la fois proche de x et de x'. Il en résulte donc que pour tout  $z \in W_x \cap W_x$  l'application:

$$f_{\mathbf{x},\mathbf{x}'}(z) = d_{(\alpha \cdot \varphi_1^{\mathbf{x}}(z))}(\alpha \cdot \varphi_1^{\mathbf{x}'} \cdot (\varphi_1^{\mathbf{x}})^{-1} \cdot \alpha^{-1})$$

sera proche d'une application hermitienne. Plus précisément, pour tout  $x \in M$ , il existe un nombre positif  $\delta_x^1 < \delta_x$  tel que si  $r(W_x) < \delta_x^1$ , alors pour tout  $u \in W_x \cap W_{x'}$ 

$$1 - \varepsilon \le \frac{\|f_{x,x'}(z)(u)\|}{\|u\|} \le 1 + \varepsilon$$

où  $\varepsilon$  est le nombre dont l'existance a été démontré dans la proposition I.4.2. Le recouvrement cherché est un recouvrement fini  $W_1, W_2, \ldots, W_k$  extrait du recouvrement  $\{W_x\}_{x\in M}$  par les boules géodesiques  $W_x$  de rayon inférieur à  $\delta_x^1$ . Soient  $\varphi_i^i$  les isotopies correspondantes aux  $W_i$  telles que  $\varphi_1^i(W_i) \subset U$  et soient  $f_{ii}(z)$  les changements de cartes:

$$f_{ij}(z) = d_{(\alpha \cdot \varphi_1^i(z))}(\alpha \cdot \varphi_1^j(\varphi_1^i)^{-1} \cdot \alpha^{-1}).$$

D'après la proposition I.4.2, il existe une isotopie symplectique  $\tilde{H}_t^{ij}$  à support dans  $\alpha(U)$  telle que  $\tilde{H}_1^{ij}$  soit égal à  $\alpha\varphi_1^i \cdot (\varphi_1^i)^{-1}\alpha^{-1}$  sur  $\alpha \cdot \varphi_1^i(W_i \cap W_j)$  Posons:  $H_t^{ij} = \alpha^{-1} \cdot \tilde{H}_t^{ij} \cdot \alpha$ , alors  $H_t^{ij} \in G_U$  et  $H_1^{ij}$  est égal à  $\varphi_1^i \cdot (\varphi_1^i)^{-1}$  sur  $\varphi_1^i(W_i \cap W_i)$ . Nous

avons donc démontré que:

$$H_1^{ij}(\varphi_1^i(W_i\cap W_i))=\varphi_1^j(W_i\cap W_i).$$

D'où le lemme III.5.2

Démonstration du lemme III.5.3. La démonstration de ce lemme est délicate. Elle se fera en plusieurs étapes.

Etape 0. Soit c un p-simplexe de  $\overline{\mathrm{BDiff}^{\infty}}(M)$ . Par des subdivisions barycentriques succéssives, on décompose c en une somme de p-simplexes "petits." Par "petit" simplexe, nous entendons que le feuilletage correspondant sur  $\Delta^p \times M$  soit suffisamment proche du feuilletage horizontal dans la  $C^1$ -topologie. Dans la suite, nous supposerons que les simplexes considérés sont "très petits." La "petitesse" sera explicitée s'il le faut et dépendra des constructions que nous serons emmenés à faire.

Etape 1. Soit c un petit 2-simplexe de  $\overline{\mathrm{BKer}\,S(M)}$  et soit  $\partial c = \sum_{j=0}^2 (-1)^j \,\partial_j c$  son bord. Chaque chemin  $\partial_j c: 1 \to \mathrm{Ker}\,S(M)$  est une isotopie que nous désignerons par  $(\partial_j c)(t)$ . En appliquant le lemme de fragmentation à chaque isotopie  $(\partial_j c)(t)$ , on trouve des isotopies symplectiques  $h_k^i(t), k = -1, 0, \ldots, 2n$   $(\dim(M) = 2n)$ , telles que:

$$h_k^{i}(t) = \begin{cases} h_{k-1}^{i}(t) & \text{hors de } U^k \\ (\partial_i c)(t) & \text{sur } \bigcup_{i \leq k} V^i \end{cases}$$

pour  $k \ge 0$  et on convient que  $h_{-1}^{j}(t) = id_{M}$ .

Si on pose:

$$s_k^j(t) = (h_{k-1}^j(t))^{-1} \cdot h_k^j(t).$$

On a:

$$(\partial_j c)(t) = s_0^i(t), \ldots, s_{2n}^i(t)$$
 et supp  $(s_k^i(t)) \subset U^k$ .

Explicitons quelques notations:

Nous commençons par ordonner les boules  $\{U_i^k\}_{i\in I_k}$ ,  $k=0,\ldots,2n$ . Les boules  $U_j^0$  porteront le numéro j et seront désignées  $U_j$ . Pour  $k\geq 1$ , une boule  $U_i^k$  sera désignée  $U_m$  si  $m=(\sum_{s\leq k-1}N_s)+i$ , où  $N_s$  est le cardinal de  $I_s$ .

L'isotopie  $s_k^i(t)$  a son support dans la réunion disjointe  $U^k = \bigcup_{i \in I_k} U_i^k$ . Soit  $\sigma_m^i(t)$  l'isotopie égale à  $s_k^i(t)$  sur  $U_i^k = U_m$  et à l'identité en dehors.

Soit  $N = N_0 + \cdots + N_{2n}$ . On pose  $\mathfrak{T}_1^i(t) = \sigma_1^i(Nt)$  pour  $0 \le t \le 1/N$  et pour  $m = 2, \ldots, N$ :

$$\mathfrak{T}_m^i(t) = (\sigma_1^i *, \ldots, *\sigma_m^i)(t) = \sigma_1^i(1) \cdot \sigma_2^i(1) \cdot \cdots \cdot \sigma_k^i(1) \cdot \sigma_{k+1}^i(Nt-k)$$

pour  $k/N \le t \le (k+1)/N$ , k = 1, 2, ..., m-1.

Pour tout j, le 1-simplexe  $t\mapsto \mathfrak{T}_N^j(t)$  est une somme des 1-simplexes  $t\mapsto \sigma_n^j(t)$ , à support dans les boules  $U_n$ ; il est évident que  $\mathfrak{T}_N^j(1)=(\partial_j c)(1)$  et que les chemins  $(\partial_j c)(t)$  et  $\mathfrak{T}_N^j(t)$  sont homotopes. Par changement de paramètres, on peut supposer que le 2-simplexe standard  $\Delta^2$  est  $\{(x,y)\in \mathbb{R}^2\mid 0\leq y\leq x\leq 1\}$ . Soit  $\Xi$  l'application de  $\partial\Delta^2$  dans Ker S(M) définie par:

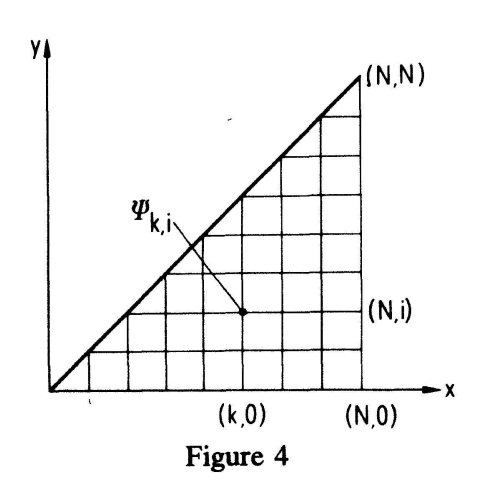
$$\Xi(t,0) = \mathfrak{T}_N^2(t); \qquad \Xi(t,t) = \mathfrak{T}_N^1(t); \qquad \Xi(1,t) = \mathfrak{T}_N^0(t), \qquad t \in I.$$

Désignons par  $\Delta^2 = \{(x, y) \in \mathbb{R}^2 \mid 0 \le y \le x \le N\}$ . La composition de l'homothétie de rapport 1/N et de l'application  $\Xi$  est une application de  $\partial \underline{\Delta}^2$  dans Ker S(M), notée encore  $\Xi$  telle que:

$$\Xi(k,0) = \mathfrak{T}_k^2(1); \qquad \Xi(N,l) = \mathfrak{T}_l^0(1); \qquad \Xi(k,k) = \mathfrak{T}_k^1(1)$$

pour  $0 \le k \le N$  et  $0 \le l \le N$ .

On interprète  $\Xi$  comme une 1-chaîne (donc un 1-cycle) de  $\overline{\mathrm{BKer}\,S(M)}$ .



Etape 2: Construction d'une 2-chaine dont le bord est  $\Xi$  et dont les 2-simplexes ont des supports dans des ouverts de W. Pour ce faire, nous aurons besoin de construire pour tout couple d'entiers (k, l) tels que  $0 \le l, k \le N$ , des difféomorphismes  $\psi_{k,l} \in \text{Ker } S(M)$  tels que que pour tout k, l, chaque difféomorphisme  $\psi_{k,l}\psi_{k,l-1}^{-1}$ ;  $\psi_{k,l}\cdot\psi_{k-1,l}^{-1}$  ait son support dans une boule de W et tels

que:

$$\psi_{0,0} = \mathrm{id}_{M}; \qquad \psi_{k,0} = \mathfrak{T}_{k}^{2}(1); \qquad \psi_{k,k} = \mathfrak{T}_{k}^{1}(1); \qquad \psi_{N,l} = \mathfrak{T}_{N}^{0}(1)(*)$$

avec  $1 \le k$ ,  $k \le N$ .

(i) Construction des  $\psi_{k,l}$  pour  $0 \le l$ ,  $k \le N_0$ 

On pose:

$$\psi_{k,l} = \begin{cases} \psi_{N_0,0} \cdot H_l & \text{sur } \bigcup_{j \le k} U_j^0 \\ \text{identit\'e ailleurs} \end{cases}$$

où:

$$H_{l} = \begin{cases} \psi_{N_{0},0}^{-1} \cdot \psi_{N_{0},N_{0}} & \text{sur } \bigcup_{j \leq l} U_{j}^{0} \\ \text{identit\'e ailleurs} \end{cases}$$

pour  $k, l \ge 1$  et  $H_0 = \mathrm{id}_M$ , et  $\psi_{N_0,0}, \psi_{N_0,N_0}$  définis par (\*)

Il est évident que:

$$\text{supp } (\psi_{k,l} \cdot \psi_{k-1,l}^{-1}) \subset U_k^0; \quad \text{supp } (\psi_{k,l} \cdot \psi_{k,l-1}^{-1}) \subset U_l^0$$

(ii) Construction des  $\psi_{k,l}$  pour  $N_0 + 1 \le k \le N_0 + N_1$ ,  $1 \le l \le N_0$ .

Nous allons utiliser le lemme III.5.5 ci-dessous. Sa démonstration sera donnée plus loin.

LEMME III.5.5. Soit  $\varphi_k$  le diféomorphisme égal à  $\varphi = \psi_{N_0,N_0}^{-1} \cdot \psi_{N,0} \cdot \psi_{N,0}^{-1} \cdot \psi_{N_0,0}$  sur la couronne  $C_k = \bar{U}_k^0 - V_k^0$  et à l'identité en dehors de  $C_k$ . (Ceci a un sens puisque  $\varphi$  a son support dans la réunion disjointe des couronnes  $C_k$ .) Alors:  $R_{C\bar{V}_k^0}(\varphi_k) = R_{U_k^0}(\varphi_k) = 0$ , pour tout k.

Le lemme III.5.5 et la proposition III.1.1 impliquent qu'il existe pour tout i, j des difféomorphismes  $\alpha_{ij} \in \text{Ker } S(M)$ , à support dans  $U_i^{\prime 1}$  et égal à  $\varphi$  sur  $V_i^{*1} \cap C_j$  (voir condition (v) du lemme de fragmentation et la figure 5)

Considérons les difféomorphismes:

$$h_{k,l} = \prod_{\substack{1 \leq i \leq k \\ 1 \leq i \leq l}} \alpha_{ij}, \qquad k = 1, \ldots, N, \qquad l = 1, \ldots, N_0.$$

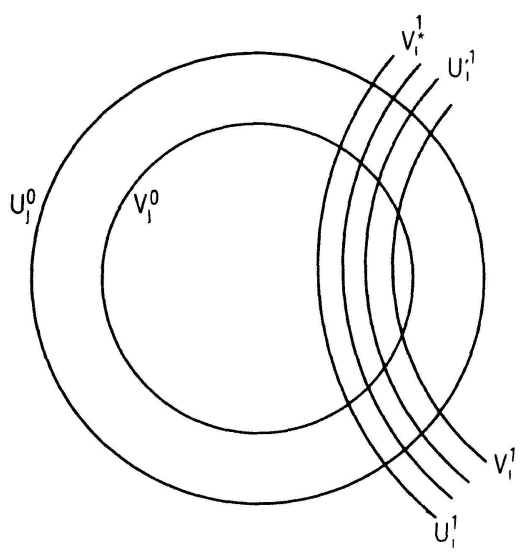


Figure 5

Pour  $1 \le k \le N$  et  $1 \le l \le N_0$ ; on pose:

$$\psi_{N_0+k,l} = \psi_{N_0,l} \cdot h_{k,l} \cdot T_k,$$

où  $T_k$  est égal à  $\psi_{N_0,0}^{-1} \cdot \psi_{N_0+N_1,0}$  sur  $\bigcup_{j \le k} U_j^1$  et à l'identité ailleurs. Pour  $l \ge 2$ ,

$$\psi_{N_0+k,l}\cdot\psi_{N_0+k,l-1}^{-1}=\varphi_{N_0,l}\cdot h_{k,l}\cdot h_{k,l-1}^{-1}\cdot\psi_{N_0,l-1}^{-1}$$

a son support dans  $U_l^0$ . En effet, supp  $(\psi_{N_0,l-1}^{-1}) \subset \bigcup_j U_j^0$ ; supp  $(h_{k,l} \cdot h_{k,l-1}^{-1}) \subset U_1^0$  et les boules  $U_j^0$  sont disjointes.

D'autre part:

$$\rho = \psi_{N_0+k,1} \cdot \psi_{N_0+k,0}^{-1} = \psi_{N_0,1} \cdot h_{k,1} \cdot T_k \cdot \psi_{N_0+k,0}^{-1}$$

a son support dans  $U_1^0$ . En effet,  $T_k \cdot \psi_{N_0+k,0}^{-1}$  est égal à  $\psi_{N_0,0}^{-1}$  qui est égal à  $\psi_{N_0,1}^{-1}$  hors de  $U_1^0$ . Donc pour tout  $x \notin U_1^0$ ,  $T_k \cdot \psi_{N_0+k,0}^{-1}(x) = \psi_{N_0,1}^{-1}(x)$ . Le point  $\psi_{N_0,1}^{-1}(x)$  ne rencontre pas le support de  $h_{k,1}$ . Il en résulte que  $\rho(x) = x$ , c.à.d. que supp  $(\rho) \subset U_1^0$ .

Il est clair que:

$$\psi_{N_0,l}^{-1} \cdot \psi_{N_0+1,l} = h_{1,l} \cdot T_1$$

a son support dans  $U_1^1$ 

Pour  $k \ge 2$ , on voit facilement que:

$$\theta = \psi_{N_0+k,l} \cdot \psi_{N_0+k-1,l}^{-1} = \psi_{N_0,l} \cdot h_{k,l} \cdot T_k T_{k-1}^{-1} h_{k-1,l}^{-1} \cdot \psi_{N_0,l}^{-1}$$

a son support dans  $U_k'^1$ . En effet, visiblement supp  $(\theta) \subset \bigcup_{i,j} U_i^0 \bigcup U_j^1$ . Si  $x \in U_i^0$ , où  $U_i^0 \cap U_k^1 = \emptyset$ , alors  $h_{k-1,l}^{-1} \cdot \psi_{N_0,l}^{-1}(x) \not\in U_k^1$  et comme hors de  $U_k^1$ ,  $h_{k,l} = h_{k-1,l}$ , il en résulte que  $\theta(x) = x$ .

Soit  $\tilde{U}^0$  la réunion des boules  $U_j^0$  qui rencontrent  $U_k^1$ . Pour  $x \in U_j^1$ ,  $j \neq k$  et  $U_j^1 \cap \tilde{U}^0 = \emptyset$ , il est facile de voir que  $\theta(x) = x$ . Si  $x \in \tilde{U}^0$  et  $x \notin U_k'^1$ , alors  $\psi_{N_0,l}^{-1}(x) \notin U_k^1$ . Donc  $(h_{k,l} \cdot T_k \cdot T_{k-1}^{-1} \cdot h_{k-1,l}^{-1})(\psi_{N_0,l}^{-1})(x) = \psi_{N_0,l}^{-1}(x)$ . Autrement dit,  $\theta(x) = x$ .

La propriété suivante des difféomorphismes  $\psi_{N_0+N_1,l}$  sera utile dans la suite (pour montrer la cohérence des conditions (\*) dans la construction (iii) ci-dessus).

$$\psi_{N_0+N_1,l} = \psi_{N,l} \quad \text{sur} \quad \bigcup_{j \le N_0+N_1} V_j$$

En effet sur cet ensemble,  $\psi_{N_0+N_1,l} \cdot \psi_{N_0+N_1,0}^{-1}$  est égal au difféomorphisme H suivant:

$$H = \begin{cases} \psi_{N_0,l} \psi_{N_0,N_0}^{-1} \cdot \psi_{N,N_0} \psi_{N,0}^{-1} & \text{sur} & \bigcup_{j \leq l} U_j^0 \\ \text{identit\'e ailleurs.} \end{cases}$$

Comme  $\psi_{N_0,l} = \psi_{N_0,N_0} \text{ sur } \bigcup_{j \leq l} U_j^0$ 

$$H = \begin{cases} \psi_{N,N_0} \psi_{N,0}^{-1} & \text{sur } \bigcup_{j \le l} U_j^0 \\ \text{identit\'e ailleurs.} \end{cases}$$

Il en résulte que sur  $\bigcup_{j \leq N_0 + N_1} V_j$ ,

$$\psi_{N_0+N_1,l} = H \cdot \psi_{N_0+N_1,0} = H \cdot \psi_{N,0} = \psi_{N,l}$$

(iii) Construction des  $\psi_{k,l}$  pour  $1 \le l \le N_0$ ,  $k > N_0 + N_1$  et  $k, l > N_0$ 

Cette construction se fera par récurence dans l'ordre des l et k croissants en posant:

$$\psi_{k,1} = \begin{cases} \psi_{k-1,l} & \text{hors de } U_k \\ \psi_{k,l-1} & \text{hors de } U \\ \psi_{N,l} & \text{sur } \bigcup_{j \le k} V_j. \end{cases}$$
(\*)

Nous laissons au soin du lecteur de vérifier que ces conditions sont cohérentes. Elles définissent donc des difféomorphismes symplectiques  $\psi_{k,l} \in \text{Ker } S(M)$  en dehors de  $U_k \cap U_l - \bigcup_{j \le k} V_j$ . Il se pose alors le problème de les étendre symplectiquement à toute la variété.

En reprennant les anciennes notations,  $U_k$  et  $U_l$  sont de la forme  $U_k = U_i^r$ ,  $U_l = U_{i'}^{r'}$ . Comme l < k, on a que  $r' \le r$ . Si r' = r, alors  $U_k \cap U_l = \emptyset$  et  $\psi_{k,l}$  est déjà défini parout. Supposons donc que r' < r et que  $U_k \cap U_l \ne \emptyset$ .

$$\bar{U}_k \cap \bar{U}_l - \bigcup_{i \leq k} V_i = \left(\bar{U}'_i - \bigcup_{i \leq r} V^i\right) \cap \bar{U}''_{i'}.$$

Chaque composante connexe de l'ensemble ci-dessus est l'ensemble  $G_{i,j}^{r,r'}$  décrit au paragraphe 5. Nous avons vu que cet ensemble est homéomorphe à  $D^{r-r'} \times \Delta^{r'} \times C^{2n-r}$ . Un petit calcul montre que:

$$H_2(G_{ij}^{r,r'}, \partial G_{ij}^{r,r'}) = \begin{cases} \mathbf{R} & \text{si } r = 1 \text{ et } r' = 0 \\ 0 & \text{dans les autres cas.} \end{cases}$$

Dans le cas qui nous intérèsse (c.à.d.  $1 \le l \le N_0$ ,  $k > N_0 + N_1$  et  $k, l > N_0$ ), les groupes d'homologies relatifs ci-dessus sont tous nuls. D'après le théorème II.2.1, les difféomorphismes  $\psi_{k,l}$  s'étendent symplectiquement à toute la variété.

Considérons les triangles  $T_k$  de sommets (k, k), (k, k-1) et (k-1, k-1) et les carrés de  $C_{k,l}$  de sommets (k, l), (k-1, l), (k-1, l-1) et (k, l-1) dans  $\Delta^2$  (voir figure 4).

Le sous-groupe des difféomorphismes de Ker S(M) à support dans une boule est exactement le groupe de tous les difféomorphismes symplectiques à support dans cette boule. Ce groupe est localement contractible.

Comme tous les difféomorphismes  $\psi_{k,l}$  sont proches de l'identité, il existe donc des isotopies symplectiques  $h_t$ ,  $g_t$ ,  $u_t$ ,  $v_t$  telles que:

$$\sup (h_{t}) \subset U'_{k} \sup (g_{t}) \subset U'_{k} \sup (u_{t}) \subset U_{l} \sup (v_{t}) \subset U_{l}$$

$$(\psi_{k-1,l}^{-1} \cdot \psi_{k,l}) = h_{1}; \quad (\psi_{k-1,l-1}^{-1} \cdot \psi_{k,l}) = g_{1}$$

$$(\psi_{k-1,l-1}^{-1} \cdot \psi_{k-1,l}) = u_{1}; \quad (\psi_{k,l-1}^{-1} \cdot \psi_{k,l}) = v_{1}.$$

De plus on peut s'arranger pour que si  $U'_k \cap U_l = \emptyset$ , alors  $h_t = g_t$  et  $u_t = v_t$ . Il suffit pour cela de les construire ces isotopies dans l'ordre suivant: pour l donné, on construit d'abord les isotopies relatives au carré  $C_{N,l}$ , ensuite celles relatives à  $C_{N-1,l}$ ,  $C_{N-2,l}$ , etc.,  $l = 0, 2, 3, \ldots$  Ces isotopies fournissent donc des applications différentiables par morceaux

$$\lambda_k : \partial T_k \to \operatorname{Ker} S(M)$$
 et  $\mu_{k,l} : \partial C_{k,l} \to \operatorname{Ker} S(M)$ .

De nouveau par contractibilité locale du groupe des difféomorphismes symplectiques à support dans une boule, ces applications s'étendent, après lissage, en des applications différentiables:

$$\Lambda_k: T_k \to \operatorname{Ker} S(M)$$
 et  $M_{k,l}: C_{k,l} \to \operatorname{Ker} S(M)$ 

telles que supp  $(\Lambda_k(T_k)) \subset U'_k$  et supp  $(M_{k,l}(C_{k,l})) \subset U'_k \cup U_l$ .

Considérons la 2-chaine  $\hat{c}$  somme de toutes les 2-chaines  $\Lambda_k$  et  $M_{k,l}$ . On a alors que  $\partial \hat{c} = \Xi$ , où  $\Xi$  est le 1-cycle de BKer S(M) décrit à la fin de l'étape 1.

Soient  $U'_k$  et  $U_l$  tels que  $U_k \cap U_l = \emptyset$ . Comme  $H_t = g_t$  et  $u_t = v_t$ , il en résulte que le féuilletage sur les faces opposés de  $\partial C_{k,l} \times M$  sont les mêmes. Ceci veut dire que si  $U'_k \cap U_l = \emptyset$ , alors le bord du 2-simplexe  $M_{k,l}$  est nul.

Si  $\tilde{c}$  est la 2-chaine obtenue à partir de la 2-chaine  $\hat{c}$ , en laissant tomber les 2-simplexes  $M_{k,l}$  tels que leur support est dans  $U'_k \cup U_l$  avec  $U'_k \cap U_1 = \emptyset$ , alors on a encore  $\delta \tilde{c} = \delta \hat{c} = \Xi$ .

D'après la construction du recouvrement W, tout 2-simplexe de  $\tilde{c}$  a son support dans un ouvert de W. La  $2^e$  étape est terminée.

Soient  $\tau = \sum_k \tau_k$  une 1-chaine dans  $\overline{BKer} R_U$  et  $\sigma = \sum_i c_i$  une 2-chaine dans  $\overline{BKer} S(M)$  telle que  $\partial \sigma = \tau$ .

Pour chaque 2-simplexe  $c_i$  de  $\sigma$ , on fait les constructions des étapes 0, 1, 2. Le fait  $\tau_k$  est dans BKer  $R_U$  nous assure que la construction de l'étape 2 est possible. En effet chaque  $\tau_k$  fait partie du bord d'un 2-simplexe  $c_r$  et nous avons dû utiliser le fait que les invariants R des 1-simplexes du bord sont nuls.

Soit  $\tilde{c}_i$  la 2-chaine obtenue à partir du 2-simplexe  $c_i$  par le constructions 0, 1, 2, alors la 1-chaine  $\tilde{\tau} = \partial(\sum_i \tilde{c}_i)$  est homologue à  $\tau$  dans  $H_1(BKer R_U, Z)$  et c'est bien le bord d'une 2-chaine dont les 2-simplexes ont des supports dans les ouverts de  $\mathcal{W}$ .

Le lemme II.8.3 est démontré.

## Démonstration du lemme III.5.4

Soit  $\tau = \sum \tau_k$  une 1-chaine de BKer  $R_U$  qui borde une 2-chaine  $c = \sum c_k$  de  $B\bar{G}_U$ . Par subdivisons barycentriques, on peut supposer que tous les 2-simplexes  $c_k$  sont petits et en particulier que pour tour  $x \in \Delta^2$ , alors  $c_k(x) \in G_U$  est proche de l'identité. Par contractibilité locale de  $G_U$ , il existe une isotopie canonique  $t \mapsto c_k^t(x)$  dans  $G_U$  de  $c_k(x)$  à  $id_U$ . On a:

$$R_U(c_k(x)) = \int_{M \times I} f_t \, dt \wedge \Omega^n,$$

où  $f_t$  est le hamiltonnien à support dans U du champ de vecteurs  $\dot{c}_k^t(x)$ . L'application  $x \mapsto R_U(c_k(x))$  de  $\Delta^2$  dans R est continue. Considérons une fonction g ce classe  $C^{\infty}$  à support dans U telle que  $\int_{M} g\Omega^{n} = 1$ . Si  $\varphi_{k,x}^{t}$  est le groupe à 1-paramètre engendré par le gradient symplectique de  $-R_{U}(c_{k}(x)) \cdot g$ , on a:  $R_{U}(\varphi_{k,x}^{1} \cdot c_{k}(x)) = 0$  et l'application  $\tilde{c}_{k} : \Delta^{2} \to G_{U}$  définie par

$$\tilde{c}_k(x) = \varphi_{k,x}^1 \cdot c_k(x)$$

est continue. Pour tout k,  $\tilde{c}_k$  est donc un 2-simplexe de  $\overline{\mathrm{BKer}\,R_U}$ .

Supposons que  $x \in \partial \Delta^2$  et que  $c_k(x)$  soit un  $\tau_1(x)$ . Il existe une petite isotopie  $\tau_1^t(x)$  telle que  $_{M \times I} \int f_t \, dt \wedge \Omega^n = 0$ , où  $f_t$  est le hamiltonnien à support dans U de  $\dot{\tau}_1^t(x)$ . Cette isotopie est homotope relativement aux extrémités, à l'isotopie canonique de  $\tau_1(x)$  à  $id_U$ . Donc  $R_U(\tau_1(x)) = 0$  et  $\hat{\tau}_1(x) = \tau_1(x)$ . On voit donc que  $\tau = \partial \tilde{c}$  où  $\tilde{c} = \sum \tilde{c}_k$  le lemme est démontré.

Démonstration du lemme III.5.5

$$R_{CV_{i}^{0}}(\varphi) = \sum_{k=i} R_{CV_{i}^{0}}(\varphi_{k}) + R_{CV_{i}^{0}}(\varphi_{i}) = \sum_{k\neq i} R_{U_{k}^{0}}(\varphi_{k}) + R_{CV_{i}^{0}}(\varphi_{i}).$$

D'autre part:

$$R_{U_{i}^{0}}(\varphi_{i}) = R_{U_{i}^{0}}(\psi_{N_{0},N_{0}}^{-1}|_{U_{i}^{0}}) + R_{U_{i}^{0}}(\psi_{N_{i},N_{0}}\cdot\psi_{N_{i},0}^{-1}|_{U_{i}^{0}}) + R_{U_{i}^{0}}(\psi_{N_{i},0}|_{U_{i}^{0}}).$$

En effet les deux membres de l'équation précédente sont bien définis car  $\psi_{N_0,N_0}$ ;  $\psi_{N,N_0}^{-1} \cdot \psi_{N,0}^{-1}$  et  $\psi_{N_0,0}$  ont leur support dans  $U^0$ . Par construction de ces difféomorphismes (voir lemme de fragmentation), chacun des termes du membre de droite dans l'équation précédente est nul. Ainsi donc  $R_{U_i^0}(\varphi_i) = 0$ , ce qui démontre une des affirmations du sous-lemme et prouve que  $R_{CV_i^0}(\varphi_i) = R_{CV_i^0}(\varphi)$ . Or:

$$\begin{split} R_{CV_{\cdot}^{0}}(\varphi) &= R_{CV_{\cdot}^{0}}(\psi_{N_{0},N_{0}}^{-1} \cdot \psi_{N,N_{0}}) + R_{CV_{\cdot}^{0}}(\psi_{N,0}^{-1} \cdot \psi_{N_{0},0}) \\ &= R_{CV_{\cdot}^{0}}(\psi_{N_{0},N_{0}}^{-1} \cdot \psi_{N,N}) + R_{CV_{\cdot}^{0}}(\psi_{N,N}^{-1} \cdot \psi_{N,N_{0}}) + R_{CV_{\cdot}^{0}}(\psi_{N,0}^{-1} \cdot \psi_{N_{0},0}). \end{split}$$

Rappelons que:

$$\psi_{N_0,N_0}^{-1} \cdot \psi_{N,N} = (s_1^2(1) \cdot \cdot \cdot s_{2n}^2(1))^{-1}$$

$$\psi_{N,N}^{-1} \cdot \psi_{N,N_0} = (s_1^0(1) \cdot \cdot \cdot s_{2n}^0(1))^{-1}$$

$$\psi_{N,0}^{-1} \cdot \psi_{N_0,0} = s_1^1(1) \cdot \cdot \cdot s_{2n}^1(1)$$

(voir fin de l'étape 1)

Soit A une boule contenue dans  $V_1^0$  et telle que  $A \cap U_j^k = \emptyset$  si  $U_j^k \neq U_1^0$ .

Comme chacun des  $s_i^i$  ci-dessus a son support hors de A, on a:

$$R_{CV_{1}^{0}}(\varphi) = R_{CA}(\varphi) = R_{CA}\left(\prod_{k \geq 1} s_{k}^{1}(1)\right) - R_{CA}\left(\prod_{k \geq 1} s_{k}^{0}(1)\right) - R_{CA}\left(\prod_{k \geq 1} s_{k}^{2}(1)\right).$$

Or d'après le lemme de fragmentation:

$$\sum_{k\geq 1} R_{CA}(s_k^i(1)) = \sum_{k\geq 1} R_U k(s_k^i(1)) = 0.$$

Le lemme est démontré.

# 6. Les difféomorphismes symplectiques du tore

Le tore  $T^m$  est le quotient de  $\mathbf{R}^m$  par  $\mathbf{Z}^m$ . Soit  $p: \mathbf{R}^m \to T^m$  la projection canonique. Nous désignerons par  $\tilde{x}$  un relèvement dans  $\mathbf{R}^m$  d'un  $x \in T^m$ . Pour tout  $\alpha \in T^m$ , l'application  $\rho_\alpha: T^m \to T^m$  définie par:

$$\rho_{\alpha}(x) = p(\tilde{x} + \tilde{\alpha})$$

est un difféomorphisme de  $T^m$  de classe  $C^\infty$  isotope à l'identité, qu'on appelle la rotation d'angle  $\alpha$ . Ainsi  $T^m$  s'identifie à un sous-groupe de Diff $^\infty(T^m)_0$ . Le théorème de conjugaison suivant est dû à Herman et Sergeraert [8], [15].

THÉORÈME. Soient  $a=(a_1,a_2,\ldots,a_m)$  un point de  $\mathbf{R}^m$ , c>0, et d>0 tels que pour tout  $k=(k_0,k_1,\ldots,k_m)\in \mathbf{Z}\times(\mathbf{Z}^m-0)$ , on ait:  $|k\cdot a|>c/|k|^d$  avec  $|k\cdot a|=k_0+k_1a_1+k_2a_2+\cdots+k_ma_m$  et  $|k|=k_1+k_2+\cdots+k_m$ . Soit  $\alpha=p(a)\in T^m$ . Il existe un voisinage V de  $\rho_\alpha$  dans  $\mathrm{Diff}^\infty(T^m)_0$  et une application  $s:V\to\mathrm{Diff}^\infty(T^m)_0\times T^m$  telle que pour tout  $\varphi\in V$  si  $s(\varphi)=(\psi,\beta)$ , alors  $\varphi=\rho_\beta\cdot\psi^{-1}\cdot\rho_\alpha\psi$ . De plus si  $\varphi_t$  est une famille dans V qui dépend différentiablement d'un paramètre t et si  $s(\varphi_t)=(\psi_t,\beta_t)$ , alors  $\psi_t$  et  $\beta_t$  dépendent différentiablement de t.

Considérons maintenant le tore de dimension 2n. La forme symplectique  $dx_1 \wedge dx_2 + dx_3 \wedge dx_4 + \cdots + dx_{2n-1} \wedge dx_{2n}$  de  $\mathbb{R}^{2n}$  est invariante par translation. Elle induit donc une forme symplectique  $\Omega$  sur  $T^{2n}$ . Pour  $\alpha \in T^{2n}$ , la rotation  $\rho_{\alpha}$  laisse invariante  $\Omega$ . il en résulte que  $T^{2n}$  s'identifie à un sous-groupe de  $\mathrm{Diff}_{\Omega}^{\infty}(T^{2n})_0$ . Comme la forme symplectique de  $\Omega$  de  $T^{2n}$  est à périodes entières, il résulte de la remarque II.1.2 (b) que  $\tilde{S}$  envoit  $\pi_1(G_{\Omega}(T^{2n}))$  dans  $H^1(T^{2n}, \mathbb{Z})$ .

Nous allons montrer que l'image de  $\pi_1(G_{\Omega}(T^{2n}))$  par  $\tilde{S}$  est  $H^1(T^{2n}, \mathbb{Z})$ . Pour

ì

tout  $x \in \mathbb{R}^{2n}$ , la famille d'applications  $\rho_{p(x)}^t : T^{2n} \to T^{2n}$  définie par

$$\rho_{p(x)}^t(y) = p(\tilde{y} + tx), \quad y \in T^{2n}, \quad t \in I,$$

est un chemin différentiable dans  $G_{\Omega}(T^{2n})$ . On obtient ainsi une application j de  $\mathbb{R}^{2n}$  dans  $G_{\Omega}(T^{2n})$ . On voit immédiatement que j envoit  $\mathbb{Z}^{2n}$  dans  $\pi_1(G_{\Omega}(T^{2n}))$ . D'autre part,  $\tilde{S}$  envoie surjectivement  $G_{\Omega}(T^{2n})$  sur  $H^1(T^{2n}, \mathbb{R}) = \mathbb{R}^{2n}$ . Calculons  $\tilde{S}(j(x))$ , pour  $x \in \mathbb{R}^{2n}$ .

Soit  $(c_1, c_2, \ldots, c_{2n})$  une base de  $H_1(T^{2n}, \mathbb{Z})$ . On prend pour  $c_i$  les cycles "rotations autour du  $i^{\grave{e}me}$  facteur" c.à.d. les images par p des courbes  $\tilde{c}_i: I \to R^{2n}$  définies par:

$$\tilde{c}_i(t) = (0, 0, \dots, 0, t, 0, \dots, 0)$$
 (t à la  $i^{ime}$  place).

Pour tout *i* soit  $H_i: I \times I \rightarrow T^{2n}$  l'application:

$$H_i(s, t) = \rho_{p(x)}^t(c_i(s)).$$

En passant au revêtement universel, elle s'écrit:

$$\tilde{H}_i(s, t) = (tx_1, tx_2, \ldots, tx_{i-1}, tx_i + s, tx_{i+1}, \ldots, tx_{2n}).$$

On a donc:

$$\tilde{H}_{i}^{*}\tilde{\Omega} = \begin{cases} -x_{i+1} dt \wedge ds & \text{si } i \text{ est impair} \\ +x_{i-1} dt \wedge ds & \text{si } i \text{ est pair.} \end{cases}$$

Il en résulte que:

$$\tilde{S}(j(x))(c_i) = \int_{I \times I} \tilde{H}_i^* \tilde{\Omega} = \begin{cases} -x_{i+1} & \text{si } i \text{ est impair} \\ x_{i-1} & \text{si } i \text{ est pair.} \end{cases}$$

On a donc montré que: pour tout  $x = (x_1, x_2, \dots, x_{2n}) \in \mathbb{R}^{2n}$ 

$$\tilde{S}(j(x)) = (-x_2, x_1, -x_4, x_3, \dots, -x_{2n}, x_{2n-1}) \in \mathbb{R}^{2n} \cong H^1(T^{2n}, \mathbb{R}).$$

Il en résulte que  $\tilde{S}$  envoie surjectivement  $G_{\Omega}(T^{2n})$  sur  $H^{1}(T^{2n}, \mathbb{Z})$ . De plus nous

venons de montrer:

LEMME III.6.1. La restriction de l'homomorphisme S au sous-groupe  $T^{2n}$  de  $G_{\Omega}(T^{2n})$  est l'isomorphisme  $J: T^{2n} \to H^1(T^{2n}, \mathbf{R})/H^1(T^{2n}, \mathbf{Z}) \cong \mathbf{R}^{2n}/\mathbf{Z}^{2n} = T^{2n}$  défini par

$$J(x_1, x_2, \ldots, x_{2n}) = (-x_2, x_1, -x_4, x_3, \ldots, -x_{2n}, x_{2n-1}).$$

Le résultat principal de ce paragraphe est le suivant:

THÉORÈME III.6.2. Le groupe  $H_1(\overline{BKer} S(T^{2n}), \mathbb{Z})$  est trivial.

Démonstration. Montrons d'abord que  $\widetilde{\operatorname{Ker} S}(T^{2n}) = [\widetilde{G_\Omega}(T^{2n}), \widetilde{G_\Omega}(T^{2n})]$ . Soit  $\varphi_t$  un chemin différentiable dans  $\operatorname{Ker} S(T^{2n})$  représentant un élément  $\widetilde{\varphi}$  de  $\widetilde{\operatorname{Ker} S}(T^{2n})$ . Soit  $\rho_\alpha$  une petite rotation satisfaisant à la condition arithmetique du théorème de Herman-Sergeraert et soit V un voisinage de  $\rho_\alpha$  dans  $\operatorname{Diff}^\infty(T^{2n})_0$  qui lui correspond dans ce même théorème. Pour m assez grand, l'isotopie  $h^k_t = \varphi_{(k/m)t} \cdot (\varphi_{((k-1)/m)t})^{-1}$  est dans  $\rho_\alpha^{-1}(V) \cap \operatorname{Ker} S(T^{2n})$ . Il existe donc un  $\gamma_t^k \in \operatorname{Diff}^\infty(T^{2n})_0$ ,  $\beta_t^k \in T^{2n}$  dépendant différentiablement de t tels que:

$$h_t^k = \rho_\alpha^{-1} \cdot \rho_{\beta_t^k} \cdot (\gamma_t^k)^{-1} \rho_\alpha \gamma_t^k.$$

On a alors:

$$\Omega = h_t^* \Omega = (\gamma_t^k)^* (\rho_{\alpha}^* ((\gamma_t^k)^{-1})^* \Omega)) \quad \text{c.à.d.} \quad ((\gamma_t^k)^{-1})^* \Omega = \rho_{\alpha}^* ((\gamma_t^k)^{-1})^* \Omega.$$

La condition arithmétique sur  $\alpha \in T^{2n}$  implique que les composantes de  $\tilde{\alpha} \in \mathbf{R}^{2n}$  sont linéairement indépéndantes sur  $\mathbf{Q}$ . Il en résulte que  $\alpha$  engendre un sous-groupe dense dans  $T^{2n}$ . La forme  $((\gamma_t^k)^{-1})^*\Omega$ , étant invariante par  $\rho_{\alpha}$ , est invariante par  $T^{2n}$ . Elle s'écrit donc:

$$\omega_t^k = ((\gamma_t^k)^{-1})^* \Omega = \sum_{i < j} a_{ij}^t dx_i \wedge dx_j; \quad a_{ij}^t = \text{constantes}.$$

D'autre part, comme les formes  $\omega_t^k$  et  $\Omega$  sont cohomologues, elles ont les mêmes périodes. Il en résulte que tous les coefficients sont égaux à 1. Donc  $\omega_t^k = \Omega$ , c.à.d. que  $\gamma_t^k \in G_{\Omega}(T^{2n})$ . D'autre part, puisque  $h_t^k$  est dans Ker  $S(T^{2n})$  pour tout t, on a:

$$O = S(h_t^k) = S(\rho_{(\beta_t^k - \alpha)}) - S(\nu_t^k) + S(\rho_{\alpha}) + S(\nu_t^k) = S(\rho_{\beta_t^k}) = J(\beta_t^k).$$

Il résulte du lemme III. 6.1, que  $\beta_t^k = 0$ . Donc  $h_t^k = \rho_\alpha^{-1} \cdot (\nu_t^k)^{-1} \cdot \rho_\alpha \cdot \nu_t^k$  est un commutateur dans  $G_\Omega(T^{2n})$ . Par conséquent  $\varphi_t = h_t^m, \ldots, h_t^1$  est dans  $[\widetilde{G_\Omega}(T^{2n}), \widetilde{G_\Omega}(T^{2n})]$ . Ceci montre que  $\widetilde{\operatorname{Ker} S}(T^{2n}) \subset [\widetilde{G_\Omega}(T^{2n}), \widetilde{G_\Omega}(T^{2n})]$ . L'autre

inclusion étant évidente, on a:

$$\widetilde{\operatorname{Ker} S}(T^{2n}) = [\widetilde{G_{\Omega}}(T^{2n}), \widetilde{G_{\Omega}}(T^{2n})].$$

Si on pose:

$$b_t^k = JS(\gamma_t^k); \quad u = \alpha + b_t^k$$
  
$$\bar{\nu}_t^k = \rho_{b_t^k} \cdot \gamma_t^k \quad \text{et} \quad \gamma_t^k = (\rho_{b_t^k})^{-1} \cdot (\gamma_t^k)^{-1}.$$

On a:

$$h_t^k = \rho_u^{-1} \cdot \bar{\gamma}_t^k \cdot \rho_u \cdot \hat{\gamma}_t^k.$$

Il est immédiat de voir que  $\bar{\gamma}_t^k \in \text{Ker } S(T^{2n})$ . D'après le lemme de fragmentation, il existe des isotopies symplectiques  $\gamma_t^{k,j}$  à support dans des boules  $U_j$  telles que  $\bar{\gamma}_t^k = \gamma_t^{k,1} \cdot \gamma_t^{k,2}, \ldots, \gamma_t^{k,N}$ . Or aura:

$$h_t^k = \left(\prod_{i=1}^N \rho_u^{-1} \cdot \gamma_t^{k,i} \cdot \rho_u\right) \cdot \left(\prod_{i=1}^N \rho_{b_t^k}^{-1} \cdot (\gamma_t^{k,N+1-i})^{-1} \cdot \rho_{b_t^k}\right).$$

Comme  $\rho_i$  et  $\rho_{b_i^k}$  sont des difféomorphismes proches de l'identité, il existe des boules  $B_i$  et  $B_i'$  telles que:

$$U_i \cup \rho_u^{-1}(U_i) \subset B_i$$
 et  $U_i \cup \rho_{h_i}^{-1}(U_i) \subset B_i'$ .

Considérons des boules  $D_j$  et  $D_j'$  telles que  $\bar{B}_j \subset D_j$  et  $\bar{B}_j' \subset D_j'$ . Il existe des isotopies symplectiques  $f_{j,k}^t$  et  $g_{j,k}^t$  telles que  $f_{j,k}^t$  (respectivement  $g_{j,k}^t$ ) ait son support dans  $D_j$  (respectivement dans  $D_j'$ ) et soit égal à  $\rho_u$  sur  $B_j$  (resp. égal à  $\rho_{b_i^k}$  sur  $B_j'$ ). Pour trouver ces isotopies, on reprend par exemple le raisonnement du début de la démonstration de la proposition III.3.1). Donc supp  $(\rho_u^{-1}\gamma_t^{k,i}\rho_u)$  et supp  $(f_{j,k}^t)^{-1} \cdot \gamma_t^{k,i} \cdot f_{j,k}^t$  sont contenus dans  $\rho_u^{-1}(U_i) = (f_{j,k}^t)^{-1}(U_i)$  et sur cet ensemble,  $\rho_u^{-1} \cdot \rho_t^{k,i} \cdot \rho_u = (f_{j,k}^t)^{-1} \cdot \gamma_t^{k,i} \cdot f_{j,k}^t$ . Il en résulte que l'isotopie  $h_t^k$  s'écrit:

$$h_t^k = \left(\prod_{i=1}^N (f_{k,i}^t)^{-1} \cdot \gamma_t^{k,i} \cdot f_{k,i}^t\right) \cdot \left(\prod_{i=1}^N (g_{k,N-i+1}^t)^{-1} \cdot (\gamma_t^{k,N-i+1})^{-1} \cdot g_{k,N-i+1}^t\right).$$

Toutes les isotopies qui interviennent dans cette formule sont dans  $\text{Ker } S(T^{2n})$ . Les  $f_{k,i}^t$  et  $g_{k,i}^t$  sont dans  $\text{Ker } S(T^{2n})$  parce qu'elles ont leur support dans des boules.

Si dans la formule ci-dessus, on change l'ordre des termes, l'isotopie ainsi obtenue est l'identité. Ceci signifie que l'image de  $h_t^k$  dans  $H_1(\ker S(T^{2n}))$  par l'application canonique de  $\ker S(T^{2n})$  dans  $\ker S(T^{2n})/[\ker S(T^{2n}), \ker S(T^{2n})]$  est nulle. Il en résulte que  $H_1(\ker S(T^{2n})) = 0$ . Comme  $H_1(\ker S(T^{2n}), \mathbf{Z}) = H_1(\ker S(T^{2n}))$  le théorème est démontré.

## 7. Fin des démonstrations

Soit  $(M, \Omega)$  une variété symplectique close et connexe de dimension 2n. D'après le théorème III.5.1, on a:

$$H_1(\overline{\mathrm{BKer}\ S(M)}, \mathbf{Z}) \cong H_1(\overline{\mathrm{BKer}\ R_U}, \mathbf{Z}) \cong H_1(\overline{\mathrm{BKer}\ S(T^{2n})}, \mathbf{Z}).$$

Mais s'après le théorème III.6.2,

$$H_1(\overline{\mathrm{BKer}\,S(T^{2n})},\mathbf{Z})=0.$$

Donc  $H_1(B\overline{\operatorname{Ker} S(M)}, \mathbf{Z}) = 0$ , ce qui signifie que  $\widetilde{\operatorname{Ker} S(M)} = \operatorname{Ker} \widetilde{S}(M)$  est un groupe parfait. On a:

$$[\widetilde{G_{\Omega}}(M), \widetilde{G_{\Omega}}(M)] \subset \operatorname{Ker} \widetilde{S}(M) = [\operatorname{Ker} \widetilde{S}(M), \operatorname{Ker} \widetilde{S}(M)] \subset [\widetilde{G_{\Omega}}(M), \widetilde{G_{\Omega}}(M)]$$

c.à.d.

$$\operatorname{Ker} \widetilde{S}(M) = [\widetilde{G_{\Omega}}(M), \widetilde{G_{\Omega}}(M)].$$

L'affirmation (i) du théorème II.6.1 est démontrée.

On voit de même que Ker  $S(M) = [G_{\Omega}(M), G_{\Omega}(M)].$ 

Pour montrer que Ker S(M) est un groupe simple, il suffit de montrer que si  $\varphi$  est un élément de Ker S(M) différent de l'identité et si  $N(\varphi)$  est le sous-groupe normal engendré (dans Ker S(M) ou  $G_{\Omega}(M)$ ) par  $\varphi$ , alors  $N(\varphi) = \text{Ker } S(M)$ . Il suffira de démontrer l'inclusion Ker  $S(M) \subset N(\varphi)$ .

Soit  $h \in \operatorname{Ker} S(M)$ . S'après le lemme de fragmentation,  $h = \prod_i h_i$  où les  $h_i$  sont des éléments de  $\operatorname{Ker} S(M)$  dont les supports sont dans des boules  $U_i$ ,  $h_i \in \operatorname{Ker} R_{U_i}$ ; de plus ces boules sont telles qu'il existe des difféomorphismes symplectiques  $H_i \in \operatorname{Ker} S(M)$  tel que  $H_i(U_i) \subset U$ , où U est une boule telle que  $U \cap \varphi U = \emptyset$ . Donc  $\tilde{h}_i = H_i \cdot h_i \cdot H_i^{-1} \in \operatorname{Ker} R_U$ ; or la nullité de  $H_1(\operatorname{BKer} R_U, Z)$  implique que  $\operatorname{Ker} R_U$  est parfait. Donc  $\tilde{h}_i = \prod_k [a_{ik}, b_{ik}]$  avec  $a_{ik}, b_{ik} \in \operatorname{Ker} R_U$ .

Montrons que si  $u, v \in \text{Ker } R_U$ , alors  $[u, v] \in N(\varphi)$ . En effet, soit  $g \in \text{Ker } S(M)$  tel que g = identit'e sur U, et  $U \cap g\varphi U = \emptyset$ . Si  $\varphi_1 = g \cdot \varphi \cdot g^{-1}$ , on a:  $[u, v] = [[u, \varphi], [v, \varphi_1]]$ . Comme  $[u, \varphi]$  et  $[v, \varphi_1]$  sont dans  $N(\varphi)$ ,  $[u, v] \in N(\varphi)$ .

Il en résulte donc que  $\tilde{h_i} \in N(\varphi)$ . Alors  $h_i = (H_i)^{-1} \cdot \tilde{h_i} \cdot H_i \in N(\varphi)$ . On a donc montré que  $h = \prod_i h_i \in N(\varphi)$ . Donc Ker S(M) est simple. Le théorème II.6.1 est démontré.

Remarque. L'argument ci-dessus est dû à Thurston (voir [4]). Il l'employait notamment pour montrer que si M est une variété différentiable de dimension n, alors la perfection du groupe des difféomorphismes à support compact de  $\mathbb{R}^n$  implique la simplicité de Diff $^{\infty}(M)_0$ . Cet argument rend les mêmes services que le théorème d'Epstein [7].

Démonstration du théorème II.6.2. Supposons que M est non compacte et soit  $h \in \text{Ker } R$ . D'après le lemme de fragmentation (qui est toujours valable aussi dans le cas où M est non compacte), alors  $h = h_1 \cdot h_2, \ldots, h_r$ , où supp  $(h_i) \subset \text{boule } U_i$ , et  $h_i \in \text{Ker } R_{U_i}$ . On répète l'argument de Thurston ci-dessus. D'où le théorème.

Démonstration du théorème II.6.3. Soit M une variété différentiable de dimension  $2n \ge 4$  munie d'une forme symplectique exacte  $\Omega$ . On a les homomorphismes surjectifs:

```
S: G_{\Omega}(M) \to H^1_c(M, \mathbb{R}) (le groupe \Gamma est trivial)

R: \text{Ker } S(M) \to \mathbb{R} (le groupe \Lambda est trivial)

\mu: G_{\Omega}(M) \to \mathbb{R}
```

et  $\mu$  coincide avec R sur Ker S(M).

On a donc l'homomorphisme  $\Sigma = S \oplus \mu : G_{\Omega}(M) \to H_c^1(M, \mathbb{R}) \oplus \mathbb{R}$  dont le noyau Ker  $\Sigma$  est exactement Ker R. Comme Ker R est simple et que Ker  $\Sigma$  contient  $[G_{\Omega}(M), G_{\Omega}(M)]$  comme sous-groupe normal, on a: Ker  $\Sigma = [G_{\Omega}(M), G_{\Omega}(M)]$ . D'où le théorème.

#### **BIBLIOGRAPHIE**

- [1] Arnold V. I., One dimensional cohomology of the Lie algebra of non divergent vector fields and rotation number of dynamic systems, Funct. Analis. Priloz. Vol 13 No 4, Oct, déc. 1969 pp 77-78.
- [2] Banyaga, A., Sur le groupe des difféomorphismes symplectiques, Springer Lecture Notes No 484, pp 50-56.
- [3] —, On the group of diffeomorphisms preserving an exact symplectic form, A paraitre dans les comptes rendus du C.I.M.E., Août 1976, Varenna, Italie.

- [4] —, Sur la structure du groupe des difféomorphismes, A paraître.
- [5] BOOTHBY, W. M., Transitivity of automorphisms of certain geometric structures, Trans. Amer. Math. Soc. 137 (1969) 93-100.
- [6] CALABI, E., On the group of automorphisms of a symplectic manifold, Problems in Analysis (symposium in honour of S. Bochner), Princeton University Press (1970) 1-26.
- [7] Epstein, D. B. A., The simplicity of certain groups of homeomorphisms, Composition Mathematica Vol. 22 Fasc. 2 (1970), 165-173.
- [8] HERMAN, M. R., Sur le groupe des difféomorphismes du tore, Ann, Inst. Fourier, 23-2 (1974) 75-86.
- [9] KOBAYASHI, S. et NOMIZU, K., Foundation of differential geometry, Tome I, Interscience Publishers, 1963.
- [10] MARTINET, J., Sur les singularités des formes différentielles, Ann. Inst. Fourier, 20 (1970) 95-178.
- [11] MATHER, J. N., Commutators of diffeomorphisms I et II, Comment. Math. Helv. 49 (1974), 512-528 et 50 (1975) 33-40.
- [12] Moser, J., On the volume-element on manifolds, Trans. Amer. Math. Soc. 120 (1965), 280-296.
- [13] ROUSSEAU, G., Difféomorphismes d'une variété symplectique non compacte, A paraître.
- [14] SCHWARTZ, L., Séminaire 1953-1954: Produits tensoriels d'espaces vectoriels topologiques, Faculté des Sciences, Paris, (1954).
- [15] SERGERAERT, F., Un théorème des fonctions implicites sur certains espaces de Fréchet et quelques applications, Ann. Scient. Ec. Nor. Sup. 4 ème série, 5 (1972) 599-660.
- [16] THURSTON, W., On the structure of volume preserving diffeomorphisms, A paraitre.
- [17] —, Foliations and group of diffeomorphisms, Bull. Amer. Math. Soc. V. 80 (1974), 304-307.
- [18] Treves, F., Topological vector space, distributions and kernels, Academic Press, New York, 1967.
- [19] Weil, A., Variétés kählériennes, Hermann, Paris, 1958.
- [20] Weinstein, A., Symplectic manifolds and their lagrangian submanifolds, Advances in Math. 6 (1971), 329-345.

Section de Mathématiques Université de Genève 2-4, Rue du Lièvre CH 1211 Genève 24, SUISSE

Received January 30, 1976.